

中国图像工程:2009

章毓晋

(清华大学电子工程系, 北京 100084)

摘要 该文是关于中国图像工程的年度文献综述系列之十五。为了使国内广大从事图像工程研究和图像技术应用的科技人员能够较全面地了解国内图像工程研究和发展的现状,并能够方便地查询有关文献,现从2009年在国内15种有关图像工程重要中文期刊的共134期上发表的3604篇学术研究和应用技术文献中,选取出1008篇属于图像工程领域的文献,并根据各文献的主要内容将其分别归入图像处理,图像分析,图像理解,技术应用的综述五个大类,然后进一步分入23个专业小类(与去年相同)。在此基础上还进行了各期刊各类文献的统计和分析。根据统计分析结果可看到我国图像工程在2009年许多新进展的情况。特别值得指出,在上述15种期刊上所发表的图像工程文献数量在2009年继续增加并达到历史最高,显示了图像工程在中国继续蓬勃发展的趋势。另外,借此综述系列15年之际,还将这15年分成3个5年的阶段,分别对3个阶段的图像工程文献选取情况和各类图像工程文献数量进行了统计和对比分析,以为读者提供更全面和可信的发展动态信息。

关键词 图像工程 图像处理 图像分析 图像理解 技术应用 文献综述 文献统计 文献分类

中图法分类号: TN911, TP391 文献标志码: A 文章编号: 1006-8961(2010)05-689-34

Image Engineering in China: 2009

ZHANG Yujin

(Department of Electronic Engineering, Tsinghua University, 100084 Beijing)

Abstract This is the fifteenth annual bibliographies in the survey series on image engineering in China. The purpose of this survey work is mainly to capture the up-to-date development of image engineering in China, to provide a convenient means of literature searching facility for readers working in related areas, and to supply a useful reference for the editors of journals and potential authors of papers. Considering the wide distribution of related publications in China, 1008 references on image engineering research and technique are selected carefully from 3604 research papers published in 134 issues of a set of 15 Chinese journals. These 15 journals are considered as important journals in which papers concerning image engineering have higher quality. Those selected references are classified first into 5 categories (image processing, image analysis, image understanding, technique application and survey), and then into 23 specialized classes according to their main contents (same as last year). Some analysis and discussions about the statistics made on the results of classifications by journal and by category are also presented. This work shows a general and off-the-shelf picture of the various progresses of image engineering in China in 2009, it should be pointed out particularly that, in 2009 the number of research papers for image engineering, published in the above 15 journals still maintains an increase and attends a new high stage in the history. A strong tendency of continuing development of image engineering in China is clearly visible. In addition, taking the opportunity of 15th year of survey, some further statistics and analyses on the selections of publications and numbers of publications in all categories are provided on the basis of dividing the 15 years into three "five-year" separately. Thus, the readers could obtain even more complete and reliable information than before.

Keywords image engineering, image processing, image analysis, image understanding, technique application, literature survey, literature statistics, literature classification

基金项目:国家自然科学基金(60872084)

收稿日期:2010-03-12;改回日期:2010-04-08

第一作者简介:章毓晋(1954—),男,教授,博士生导师。1989年获比利时列日大学应用科学博士学位。研究领域为图像工程。

E-mail: zhangyj@ee.tsinghua.edu.cn, 主页: http://www.ee.tsinghua.edu.cn/~zhangyujin/

0 引言

图像工程是一个系统地研究各种图像理论,开发各种图像技术和使用各种图像设备的综合学科,主要可分成如下紧密联系又有区别的 3 个层次:图像处理、图像分析和图像理解^[1]。近年来,图像工程的研究内容越来越深入,与越来越多学科的研究相结合,并得到越来越多(数学、物理、心理、生理等学科)的新理论和电子、计算机等专业学科技术的支持。图像技术的应用范围也已非常广泛,涉及到通信、教育、文档、生物、医学、遥感、测绘、军事、公安、交通、工业自动化和办公自动化等诸多领域。

从 1996 年开始,笔者逐年翻阅前一年发表在国内外一些重要中文期刊上有关图像工程研究应用的文献,并根据其内容进行了分类和统计,撰写成综述性文章(见文献[1-15])。这些文章构成了一个中国图像工程的年度文献综述系列。

本文是关于中国图像工程的年度文献综述系列之十五,本文从 2009 年刊载在国内 15 种重要期刊上的 3 604 篇中文文献中(另有 77 篇英文文献未考虑),选出了 1 008 篇有关图像工程的文献,并对其进行了分类和统计(包括文献选取情况,刊物刊登情况和各类别数量情况),还结合分类和统计结果对 2009 年我国图像工程发展的热点和趋势进行了分析和讨论。

1 综述目的

当 2006 年该文献综述系列进入第 2 个十年时^[12],曾对该文献综述原先的 3 个主要目的^[1-11]进行了新的讨论。下面仅将各目的的要点和讨论的结果概述如下:

1) 概括我国图像工程发展现状

众所周知,期刊是一类独具特色的信息载体。由于一门学科的重要期刊一般均刊载大量相关学科的信息,且水平较高,能够反映该学科的最新研究成果、进展以及前沿动态^[16],因此通过对有关图像工程重要期刊上刊载文献的统计分析,不仅可以帮助人们了解我国图像工程研究和应用的总体情况,还能够为制定相关学科发展方向和研究策略提供科学的依据。

经过十多年的发展,这个目的仍没有改变。事实上,近年来科技界对期刊的关注和重视更强了,期刊文献对图像工程研究和应用的牵引指导作用也更大了。同时由于本综述系列对学科发展趋势的分析判断与实际情况吻合^[17],且也在多年实践中得到了验证^[11],所以本文综述系列的这个目的达到了,而且会继续起到它的作用。

2) 便利从事图像工程研究和图像技术应用的人员查阅有关文献

一门学科的重要期刊一般是受到该专业读者特别关注的期刊^[16]。因为作为一门比较新兴的学科,图像工程内容新、覆盖面大,有关文献的内容涉及领域宽,文献的分布也比较广,所以通过对重要期刊上有关文献的归纳分类可以方便研究、应用人员进行文献查阅,定期掌握专业动向,以达到共同发展我国图像工程事业的目的。

随着近年许多期刊全文上网,人们获取文献的方式有所改变。一般常借助关键词来搜索相关文献,而不再有规律地翻阅刊物。从这个角度来说,该系列帮助人们选择刊物的目的有一定的变化。然而需要指出的是,由专业人员通过阅读文献实现的归纳分类要比仅用关键词进行搜索准确可靠,特别是由于不同领域的作者有一些惯用的表述方式,使得许多技术内容相近的文献不能用同一个关键词来搜索,而用同一个关键词搜索到的文献在内容上常有很大的离散性。因此对希望定期掌握专业动向的人员来说,该综述所提供的统计信息在查阅文献特别是了解趋势时仍有用且可靠。

3) 提供期刊编者和文献作者有用的参考信息

由于对期刊文献的统计结果可反映出当前有关该学科信息在各期刊中的分布状况^[16],因此对期刊的编者来说,通过结合文献计量学原理和方法的分析(如文献[18]),可进一步了解学科的进展变化和期刊的现状情况,并从中确定期刊应有的学术地位、作用和发展策略;对文献的作者来说,由于发表科研文献的主要目的是宣传研究成果、促进技术交流,因此要关注刊物的学术权威性和领域重点,而本工作可对投稿起参考和导向作用。

这里需要指出的是,参考信息主要是向两方面的人提供的。从期刊编者的角度来说,虽然文献内容有了新的传播方式,该综述在帮助确定期刊的学术定位、读者对象和拓展领域方面都保持了原来的作用;但从文献作者的角度来说,由于期刊全文上网

和读者查阅期刊文献方式的变化,导致读者在查阅文献时并不一定首先注意到刊物的学术权威性和覆盖的专业领域,而作者在投稿时也会受到其他因素的影响。不过从深层思考这个问题,需要注意到期刊文献总是由同行或相近专业人员评审后才得以发表的。由于历史的原因和刊物的性质,各刊物的审稿人还有许多专业特点,或者说他们的研究领域还是有所侧重的。如果投稿者考虑到上述情况,选择恰当的刊物,就有望使稿件得到密切相关领域专家的评审,反馈的信息将会更有意义。另外,该工作对揭示我国图像工程科技人员的水平、现状和变化的研究也打下了很好的基础^[19]。

2 刊物选取

图像工程涉及范围广泛,研究发展迅速,相关刊物比较多,文献分布也比较广。在过去十多年中,综述对刊物选取的基本原则一直保持一致^[1-15],主要是:

1) 读者较广 均为发行比较广泛的国内中文一次文献期刊;

2) 水平较高 多为国内一级学会的会刊,其他也是相关专业领域中重要的二级学会会刊;

3) 信息较多 指刊物内有关图像工程的文献比较集中,一般平均每期多在两篇以上。

根据上述原则选出并认定的15种刊物已被称为中国图像工程重要期刊^[5]。本综述系列自开始以来也一直选取这些期刊作为文献源^[1-15]。虽然近年来随着图像工程的迅速发展,相关的新刊物时有出现,而且一些原来侧重于其他研究领域和专业方向的期刊上也开始刊登不少有关图像工程的文献。但是考虑到本综述系列的连续性和统计的一致性,以及这些中国图像工程重要期刊本身的发展情况,今年所选取的期刊仍与历年本综述系列选取的期刊完全相同^[1-15],其刊名仍根据所给的缩写代号统一按拼音顺序排列如表1所示。

与上一年相比,这15种刊物虽由多个不同单位(学会或机构)主办,但均基本保持了原来的覆盖领域和出版风格,这使我们的统计结果与综述开始以来各年的可比性也比较大。而且从2009年开始,所有这15种刊物都不仅有印刷版外,其全文文献电子版都可以通过“中国期刊网”获得。读者更容易获得这些文献,对其统计分类的意义也更大一些。

表1 刊物名称和代号表

Ta.1 Selected journals and their abbreviations

序号	代号	刊物名称
1	[CT]	《CT理论与应用研究》
2	[CX]	《测绘学报》
3	[DC]	《电子测量与仪器学报》
4	[DX]	《电子学报》
5	[DxX]	《电子与信息学报》
6	[JX]	《计算机学报》
7	[MR]	《模式识别与人工智能》
8	[SC]	《数据采集与处理》
9	[TX]	《通信学报》
10	[XC]	《信号处理》
11	[YX]	《遥感学报》
12	[ZS]	《中国生物医学工程学报》
13	[ZTi]	《中国体视学与图像分析》
14	[ZTu]	《中国图象图形学报》
15	[ZX]	《自动化学报》

3 文献选取和分类

本文只从上述15种期刊上选取了其中有关图像工程的文献,其选取的基本原则与本综述系列前14年的原则^[1-15]仍一致,这些原则主要是:

1) 以中文发表的(各刊上仅用英文写的文献和直接从外文翻译的译文没有参与统计)、主要报道国内工作的文献;

2) 属于学术论文、研究简报、研究通信、技术应用等介绍图像工程最新研究成果与应用进展的文献(没有包括诸如科普普及类型和介绍性讲座类型的文献);

3) 作为年度综述系列,只选取在2009年出版的期刊(除去增刊^[3])上发表的文献。

图像工程文献涉及内容多、覆盖面广,合理的文献分类方案至关重要。本文仍采用了本综述系列一贯的分类方案,即首先把所有文献分成图像处理、图像分析、图像理解、技术应用和综述评论五大类;然后在每大类中再根据文献内容的主要技术特点或应用领域进一步分成小类^[1-15]。本综述系列的第1个5年均包含18个小类^[1-6],考虑到进入新世纪后图像工程研究出现的一些新热点,所以从对2000年的综述开始,在继承本系列分5大类的格局基础上,在图像处理、图像分析和图像理解3大类中每类各增加了1个小类(分别为A5, B5, C4),所以本综述系

列第 2 个 5 年中均有 21 个小类^[7-11]。从对 2005 年的综述开始,本系列进入第 2 个 10 年,结合图像工程研究和应用的进展在图像处理和图像理解两大类中每类各增加了 1 个小类(分别为 A6, C5),达到了 23 个小类^[12]。本文与前 4 年相同^[12-15],也分 23 个

小类,具体对文献的分类情况和各类所用代号见表 2。尽管这些年来小类的名称基本未变,但考虑到技术的发展变化,对写在括号内的内容还是进行了一些充实。表 2 里名称和内容中各名词的定义可参见文献[20]。

表 2 文献分类表
Tal. 2 Classification scheme for publications

大类	名称	小类	名称和主要内容
A	图像处理	A1	图像获取(包括各种成像方式方法、图像采集及存储、摄像机校准等)
		A2	图像重建(从投影等重建图像,间接成像等)
		A3	图像增强和恢复等(包括变换、滤波、复原、修补、校正等)
		A4	图像(视频)压缩编码(包括算法研究、国际标准实现等)
		A5	图像数字水印和图像信息隐藏
		A6	图像多分辨率处理(超分辨率重建、图像分解和插值、分辨率转换等)
B	图像分析	B1	图像分割,边缘和角点(感兴趣点/控制点)检测
		B2	目标表达、描述、测量(包括二值图处理分析等)
		B3	目标特性(颜色、纹理、形状、空间、结构、运动等)的提取分析
		B4	目标检测和识别(目标 2D 定位、追踪、提取、鉴别和分类等)
		B5	人体生物特征提取和验证(包括人体、人脸和器官的检测、定位与识别)
C	图像理解	C1	图像匹配和融合等(包括序列、立体图的配准、镶嵌等)
		C2	场景恢复(3D 表达、建模、重构或重建等)
		C3	图像感知和解释(包括语义描述、信息模型、专家系统、机器学习、推理等)
		C4	基于内容的图像和视频检索
		C5	时空技术(3D 运动分析,姿态检测,对象跟踪,行为判断和理解)
D	技术应用	D1	硬件,系统和快速(/并行)算法
		D2	通信、视频传输(包括电视、网络、广播等)
		D3	文档、文本(包括文字、数字、符号等)
		D4	生物、医学
		D5	遥感、雷达、测绘
		D6	其他(不在以上各类的应用)
E	综述评论	E1	综述(概括图像处理/分析/理解,或综合新技术)

4 文献分类统计结果和讨论

根据上述的刊物和文献选取原则,从 2009 年出版的 15 种期刊(共 134 期)上所发表的 3 604 篇文献中,选出了与图像工程有关的 1 008 篇。然后,根据如表 2 所列的文献分类方案将这些文献全部分到 5 个大类,并进一步分到 23 个小类中。需要指出,虽然有些文献的内容可能与几个小类均相关,但本文一般根据该文献的主要研究内容或主要技术观点而

仅归入一个小类(概括不同大类的综合文献目前都归在 E 类中,且因文献数量不多,只分了 1 个 E1 小类)。下面从粗到细分 3 种情况(3 个层/级/档)来介绍、分析和讨论分类统计的结果。

4.1 15 年图像工程文献选取和分类概况比较

表 3 给出从综述系列开始以来共 15 年间对前述 15 个刊物所登载的文献的数量(文献总数)、所选取的图像工程文献的数量(选取总数)和选取率(选取总数/文献总数)以及对所选文献分 5 大类统计得到的结果。其中,小计和平均都是对 15 年进行的。

表3 近15年图像工程文献选取和分类表

Tab.3 Summary and categorization of image engineering publications over the last 15 years

年度	文献总数	选取总数	选取率/%	文献数量(文献数量在当年总选取文献数量中所占的比例/%)				
				图像处理	图像分析	图像理解	技术应用	综述评论
1995	997	147	14.74	35(23.8)	52(35.4)	14(9.52)	46(31.3)	—
1996	1 205	212	17.59	52(24.5)	72(34.0)	30(14.2)	55(25.9)	3(1.42)
1997	1 438	280	19.47	104(37.1)	76(27.1)	36(12.9)	60(21.4)	4(1.43)
1998	1 477	306	20.72	108(35.3)	96(31.4)	28(9.15)	71(23.2)	3(0.98)
1999	2 048	388	18.95	132(34.0)	137(35.3)	42(10.8)	73(18.8)	4(1.03)
2000	2 117	464	21.92	165(35.6)	122(26.3)	68(14.7)	103(22.2)	6(1.29)
2001	2 297	481	20.94	161(33.5)	123(25.6)	78(16.2)	115(23.9)	4(0.83)
2002	2 426	545	22.46	178(32.7)	150(27.5)	77(14.3)	135(24.8)	5(0.92)
2003	2 341	577	24.65	194(33.6)	153(26.5)	104(18.0)	119(20.6)	7(1.21)
2004	2 473	632	25.60	235(37.2)	176(27.8)	76(12.0)	142(22.5)	3(0.47)
2005	2 734	656	23.99	221(33.7)	188(28.7)	112(17.1)	131(20.0)	4(0.61)
2006	3 013	711	23.60	239(33.6)	206(29.0)	116(16.3)	143(20.1)	7(0.98)
2007	3 312	895	27.02	315(35.2)	237(26.5)	142(15.9)	194(21.7)	7(0.78)
2008	3 359	915	27.24	269(29.4)	311(34.0)	130(14.2)	196(21.4)	9(0.98)
2009	3 604	1 008	27.97	312(31.0)	335(33.2)	139(13.8)	214(21.2)	8(0.79)
小计	34 841	8 217	—	2 720(33.1)	2 434(29.6)	1 192(14.5)	1 797(21.9)	74(0.90)
平均	2 323	548	23.58	181	162	79	120	4.9

从表3的统计数据可以看出以下特点:

1) 2009年15个刊物所登载的文献总数比2008年的文献总数又有大幅增加(增幅约10%),达到了历史新高(是综述开始那年的3.5倍多)。这里的主要原因是2009年有3种刊物都调整了出刊周期:《测绘学报》由季刊改为了双月刊,《电子测量和仪器学报》由双月刊改为了单月刊,《信号处理》也由双月刊改为了单月刊。这样,2009年所统计的刊物总期数由2008年的120期增加到了134期,增幅大于10%。刊物期数的增加使刊物的总容量增加了,文献总数的增加是很自然的。

2) 2009年从这15个刊物所选取到的图像工程文献总数比2008年也有大幅增加(增幅超过10%,而且总数突破一千大关,这使得2009年的选取总数甚至高于综述开始那年的文献总数!),这是2009年的文献总数如上所述继续增加以及2009年的文献选取率又创了历史新高的共同结果。需要注意,近3年的文献选取率均超过27%,2009年几乎达到28%。如同已多次在综述系列中指出的,这既是图像工程方面的研究成果和投稿数量历年都在不断增加的结果,也是图像工程学科蓬勃发展的一个明证。

3) 从几个大类文献的数量和变化情况来看,2009年图像处理大类的文献数量比上一年有所增加,但如同2008年一样还是赶不上图像分析大类的文献数量(335篇也是单大类的最高记录),图像理解和技术应用大类的文献数量均比上一年有一定增加,但所占比例均有一点减少。总的比例仍是图像处理、图像分析、图像理解和技术应用各占约1/3。

4.2 2009年各刊图像工程文献刊载情况

表4给出了对各刊2009年文献选取情况和分五大类统计的具体结果。表4中,选取期数和文献总数的含义一目了然;选取数量是指各刊从文献总数中选取的图像工程文献的数量;选取比例是指从各刊所选取的图像工程文献数与该刊文献总数的比。这4项均与各对应刊物相关。最后的文献比例则是指从该刊中选取的图像工程文献数量在从所有15种期刊中选取的文献总数里所占的比例。另外,表中分类栏按5大类分成了5列,从中可看出各刊物的主要覆盖领域范围。

对表4的统计数据可以进行以下几方面的分析:

1) 各刊的选取比例给出了2009年这一年度内

表 4 各刊 2009 年图像工程文献选取分类一览表

Tab. 4 Summary of selected image engineering publications in 2009 over 15 journals

期刊名称	选取期数	文献总数	选取数量	选取比例/%	分类					文献比例/%
					A	B	C	D	E	
CT 理论与应用研究	4	61 ⁽¹⁾	21	34.3	11	4	2	4	—	2.08
测绘学报	6 ⁽²⁾	87 ⁽³⁾	18	20.7	2	2	3	11	—	1.79
电子测量和仪器学报	12 ^(4,5)	224	23	10.3	5	9	2	7	—	2.28
电子学报	12 ⁽⁶⁾	507	83	16.4	31	23	6	22	1	8.23
电子与信息学报	12	638	124	19.4	58	28	13	25	—	12.30
计算机学报	12	247	46	18.6	13	17	10	5	1	4.56
模式识别与人工智能	6	146	51	34.9	3	35	10	3	—	5.06
数据采集与处理	6	158	43	27.2	15	13	3	12	—	4.27
通信学报	12 ⁽⁷⁾	246	21	8.5	12	3	1	5	—	2.08
信号处理	12 ⁽⁸⁾	375	84	22.4	27	29	14	14	—	8.33
遥感学报	6	92 ⁽⁹⁾	29	31.5	2	1	2	24	—	2.88
中国生物医学工程学报	6	170	42	24.7	12	7	1	22	—	4.17
中国电视学与图像分析	4	80	32	40.0	8	11	4	9	—	3.17
中国图象图形学报	12	407	334	82.1	102	123	57	47	5	33.13
自动化学报	12	166 ⁽¹⁰⁾	57	34.3	11	30	11	4	1	5.65
小计	134	3 604	1 008	28.0	312	335	139	214	8	—

注:(1)该刊另有 1 篇英文文献没有参与统计;(2)该刊 2009 年由季刊改为双月刊;(3)该刊另有 1 篇英文文献没有参与统计;(4)该刊 2009 年由双月刊改为月刊;(5)该刊另有增刊一期没有参与统计;(6)该刊另有增刊一期没有参与统计;(7)该刊另有增刊二期没有参与统计;(8)该刊 2009 年由双月刊改为月刊;(9)该刊中文和英文(翻译)重复的文献只统计中文文献,另还有 15 篇单独的英文文献没有参与统计;(10)该刊另有 60 篇英文文献没有参与统计。

对应刊物所刊载的有关图像工程文献的相对频度,在一定程度上反映了在该刊所覆盖的专业范围中图像工程学科所占的比例。由表 4 可见,一直占据榜首的《中国图象图形学报》的选取比例仍最大(再次超过了 4/5)。这个事实表明《中国图象图形学报》是图像工程的最专门的一种刊物。其他在该年选取比例较高的刊物(与 2008 年刊物不同且次序不同)依次为《模式识别与人工智能》,《CT 理论与应用研究》,《自动化学报》和《遥感学报》,均超过 30%。

2) 期刊载文量是对科技期刊在科学活动和文献交流中所起作用及其质量进行评价常用的 7 个指标中的第 1 个^[21]。表 4 中的各刊的文献比例正对应该刊在(15 种刊物的)图像工程文献载文中所占的比例。它们代表了各刊有关图像工程文献的相对集中度,在一定程度上体现了该刊对图像工程发展所起的作用和所做的贡献。从这个意义上讲,这个比例很值得重视。由表 4 可见,《中国图象图形学

报》的文献比例仍与前些年^[3-15]一样保持最大(几乎为 1/3)。这说明《中国图象图形学报》在反映我国图像工程领域研究的进展,报道该领域科技的成果等方面都起到了重要的作用;并为从事图像工程研究、开发和应用的人员提供了互相交流的最集中场所^[22]。考虑到该刊物已是一个比较成熟的刊物^[23],其对中国图像工程的重要意义是不言而喻的。接下来文献比例较高的刊物依次为《电子与信息学报》,《信号处理》(2009 年该刊出版期数翻番使其载文量也有明显增加)和《电子学报》。

3) 根据文献离散律^[21],有关某一学科的学术文献会大量地集中在为数不多的刊物上,而其余少量文献则分散在较多的其他刊物上。从 2009 年的数据看,图像工程文献的分布也符合这个规律。由表 4 中各刊的选取数量或文献比例可见,发表在有最高文献集中率的前 1/3 种刊物,即《中国图象图形学报》,《电子与信息学报》,《信号处理》,《电子学报》和《自动化学报》上的有关文献的数量超过了

所有 15 种刊物的有关文献的 2/3。

4.3 2009 年各刊图像工程文献详细分类情况

科技论文的发表是科研人员研究成果的一种体现,所以各类文献的数量在相当范围内反映了不同

领域相关研究所受到的关注程度,也对研究所取得的成果有一定的衡量作用。表 5 给出了对 2009 年各刊所选文献进一步按表 2 所列 23 小类进行分类统计的详细结果。

表 5 2009 年图像工程文献分小类统计细表

Tab.5 Detailed classifications of selected image engineering publications in 2009 over 15 journals

期刊代号	A1	A2	A3	A4	A5	A6	B1	B2	B3	B4	B5	C1	C2	C3	C4	C5	D1	D2	D3	D4	D5	D6	E1	
[CT]	1	9				1	4					2					1						3	
[CX]	2								2			3											11	
[DC]			3	1	1		4		1	2	2	1				1	3	1					3	
[DX]	10	4	5	1	6	5	9		1	5	8	2	2	1		1	7	4	1	5	3	2	1	
[DxX]	22		18	9	7	2	6		3	7	12	11			2		4		1	3	16	1		
[JX]	1		3	2	6	1	7		1	3	6	6		1	3		1	3	1					1
[MR]		1	1		1		7		3	5	20	2		1	4	3			3					
[SC]	1		7	3	2	2	2			5	6	1				2	2	2		3	5			
[TX]			1	2	9				1	1	1				1		2	2	1					
[XC]	8	1	9	6	1	2	8		5	11	5	5	2	1	4	2	2	3					9	
[YX]	1					1	1					2											24	
[ZS]	3	7	2				6				1				1		1			21				
[ZTi]			3	5			3		1	6	1	3	1				1		1	5	1	1		
[ZTu]	3	3	47	16	24	9	36	4	6	38	39	38	4		7	8	5	9	4	7	14	8	5	
[ZX]	1		3	1	3	3	9		2	13	6	7	2			2			1	1	1	1	1	
小计	53	25	102	46	60	26	102	4	26	96	107	83	11	4	22	19	29	24	13	45	84	19	8	

为更方便和直观地看出各小类文献数量的分布情况,图 1 给出了以直方图的形式来表示表 5 中 23 小类的分类统计结果。

通过对表 5 和图 1 统计数据的分析并与前几年的对应数据^[1-15]比较可以看出:

1) 2009 年与前几年最大的不同是在各小类文献数量中排名第 1 的变成了“B5:人体生物特征提取和验证”。该小类的文献数量在 2009 年比上一年

猛增了 50%,并由上一年的排名第 5 跃居榜首。需要指出,该小类是 2000 年才加入综述系列的,仅经过 10 年其文献数量就超过了其他 22 小类,确实表明该类相关研究和应用的突飞猛进。仔细考查该类的文献内容,可以发现有关人脸识别的占据了大多数(一些基本原理和具体方法可参见文献[24]),还有一部分与更广泛的人脸图像分析有关(国际上的一些相关工作可参见文献[25])。

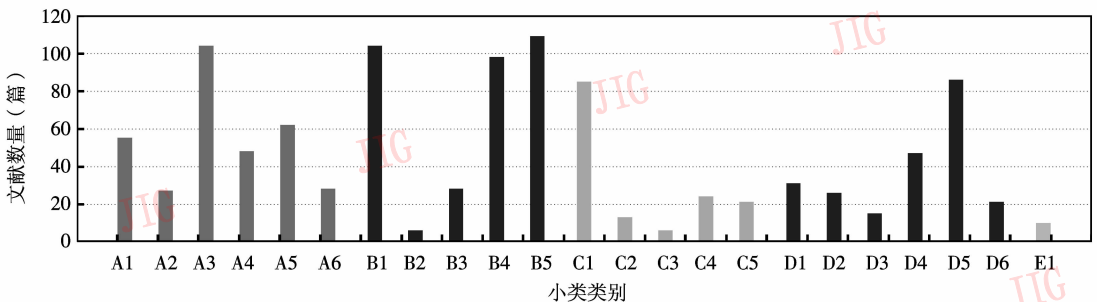


图 1 对 23 小类进行文献分类的结果

Fig. 1 Classification results for selected publications in 23 classes

2) 2009 年在各小类文献数量中排名并列第 2 的之一是“ A3: 图像增强和恢复等”。这是一个覆盖面比较大的小类, 特别是 2009 年中有一定数量的有关图像修补/修复的新文献出现并被加入到该小类中都使其文献数量有较大的增加。

3) 2009 年在各小类文献数量中排名并列第 2 的还有“ B1: 图像分割和边缘检测”。如在对历年的综述中多次提到的, 图像分割一直是图像分析中的一个热点和难点, 具有很强的挑战性。事实上, 尽管对图像分割的研究已取得了许多成果^[26], 但还有许多没有解决和需要解决的问题, 且更广泛的研究正在深入开展^[27]。另外需要指出的是, 虽然 2009 年该小类的文献数量略有减少, 但通过在文献分类时对文献内容的分析中发现, 在许多相关研究中, 由于待分割对象或目标比较明确, 利用先验知识或领域知识把一般的通用分割问题转化为对特定目标的直接检测或跟踪是一个趋势, 这样一来有相当一部分提取目标的文献归在了“ B4: 目标检测和识别”小类中, 这导致该小类 2009 年的文献数量为历年最高, 且排名也达到第 4。

4) 2009 年在各小类文献数量中排名第 5 和第 6 的分别是“ D5: 遥感、雷达、测绘”和“ C1: 图像匹配融合等”(两者的文献数量均分别达到了历史新高)。这两个小类是密切相关的, 相对来说前者更趋向于应用而后者更侧重于研究。

5) 在 2000 年新加入综述系列的 3 个小类中, 除前面荣登 2009 年榜首的“ B5: 人体生物特征提取和验证”外, 小类“ A5: 图像数字水印和图像信息隐藏”的文献数量在 2009 年基本与上一年持平(排名仍为第 7); 另一方面, 小类“ C4: 基于内容的图像和视频检索”的文献数量比去年有所减少。分析起来, 在基于内容的图像和视频检索中原来的典型研究内容^[28]基本成熟, 而在基于语义的图像和视频检索研究方面^[29]进展不太明显, 期待新的突破。

6) 2009 年在各小类文献数量中排名第 8 的小

类“ A1: 图像获取”的文献数量增幅比较突出, 接近 100%, 不过大部分文献均集中于合成孔径雷达(SAR)成像的方法, 其他类方法不多。

7) 在上一年综述中曾指出, 各小类文献数量分布的一个变化特点是原来多的更多而原来少的更少。对 2009 年文献分类的结果仍可以看出这种趋势。下面对文献数量较少且明显变得更少的 3 个小类进行一下分析: 小类“ B2: 目标表达、描述、测量”方面的技术相对比较成熟, 且人们在对图像分析中越来越不仅仅满足于获得目标的测量数据而更希望在此基础上做出一些分类识别的判断, 这样的文献多被划分到图像分析其后的各小类中; 小类“ C2: 场景恢复”方面的新技术近年来不太多, 且由于人们更关注于有目的的、定性的和主动的技术, 并不局限于恢复场景了; 小类“ D3: 文档、文本”方面的技术已比较成熟并得到了全面的应用, 相关研究的减少也是意料之中的。

8) 最后, 在 2005 年才加入综述系列的两个小类(“ A6: 图像多分辨率处理”和“ C5: 时空技术”)的文献数量在 2009 年均远高于上面 7) 中提到的 3 个逐步减少的小类的文献数量, 表明它们正在逐渐成为新的研究热点。

5 前后 3 个 5 年的比较

本文综述系列从对 1995 年的文献开始统计, 现已历经 15 年。其中前 5 年统计的正好是 20 世纪的最后 5 年, 中间 5 年统计的正好是 21 世纪的最先 5 年, 后 5 年统计的则是 21 世纪的第 2 个 5 年。表 6 给出这 3 个 5 年里对图像工程文献的选取统计情况。为比较方便和了解进展趋势, 表中在给出 3 个 5 年的小计情况和 15 年总的合计情况之外, 还给出了第 2 个 5 年“二五”相对于第 1 个 5 年“一五”的比值和第 3 个 5 年“三五”相对于第 2 个 5 年的比值(比值为 1 表示相等, 大于 1 表示增加)。

表 6 前后 3 个 5 年图像工程文献选取的统计情况

Tab. 6 Statistics of three “five-year” selections for publications of image engineering

	1995—1999 年	2000—2004 年	2005—2009 年	15 年合计	“二五”: “一五”	“三五”: “二五”
选取期数	410	528	596	1 534	1.29	1.13
文献总数	7 165	11 654	16 022	34 841	1.63	1.37
选取文献数	1 333	2 699	4 185	8 217	2.03	1.55
选取比例/%	18.60	23.16	26.12	23.58	1.24	1.13

由表6很容易看出,对第1列的4个指标,第2个5年比第1个5年都高,而第3个5年比第2个5年又都高,所以进展趋势一目了然。而另一个值得关注的是,比较前3个指标的变化情况,无论是第2个5年相对于第1个5年的比值还是第3个5年相对于第2个5年的比值,都是文献总数的比选取期数的增加得快,而选取的文献数又比文献总数增加得快,可

见选取期数的增加并不是选取文献总数增加的唯一原因,而选取文献数的比值大于文献总数的比值正好表明图像工程学科比其他学科发展得更快。

表7给出对这3个5年中各类图像工程文献数量的统计情况(其中后6列的含义与表6相同)。相应地,图2还用直方图形式给出这3个5年里(E1除外)各小类文献数量的分类对比情况。

表7 前后3个5年各类图像工程文献数量的统计情况

Tab.7 Statistics of the numbers of publications for different classes of image engineering in three periods of“five-year”

	1995—1999年	2000—2004年	2005—2009年	15年合计	“二五”:“一五”	“三五”:“二五”
A1	58	136	197	391	2.34	1.45
A2	49	67	122	238	1.37	1.82
A3	86	239	389	714	2.78	1.63
A4	238	300	262	800	1.26	0.87
A5	—	191	288	479	—	1.51
A6	—	—	98	98	—	—
B1	187	290	468	945	1.55	1.61
B2	84	73	49	206	0.87	0.67
B3	50	82	102	234	1.64	1.24
B4	112	147	337	596	1.31	2.29
B5	—	132	321	453	—	2.43
C1	71	198	340	609	2.79	1.72
C2	64	67	65	196	1.05	0.97
C3	15	18	23	56	1.20	1.28
C4	—	120	148	268	—	1.23
C5	—	—	63	63	—	—
D1	65	92	125	282	1.42	1.36
D2	40	88	141	269	2.20	1.60
D3	57	89	70	196	1.56	0.79
D4	56	107	138	201	1.91	1.29
D5	51	123	300	474	2.41	2.44
D6	36	115	104	255	3.19	0.90
E1	14	25	35	74	1.79	1.40

需要指出的是,与表5和图1仅是对一个年度的统计数据不同,这里表7和图2中的每个数据都是某个5年阶段的总和,用它们来分析变化及其趋势应该更为可靠和可信。下面参照图2讨论以下几点:

1) 在第1个5年就开始统计的18个小类中,有12个小类每个阶段都是增加的,这表明15年前的许多研究方向至今人们仍在继续关注,且研究深度和广度仍在提高和扩大。

有5个小类的文献数量在第3个5年中少于在第2个5年中(比值小于1,而且B2小类的文献数量在第2个5年中少于在第1个5年中)。分析起来,这些研究方向相对比较成熟,所以新成果较少(其中对B2,C2和D3小类已在前面表5和图1分析的第7条中讨论过;而对A4小类的分析多年前就已在本综述系列中讨论过^[9-15];D6小类文献数量的减少似说明多数图像应用仍集中在15年前就开始统计的4个领域里)。

2) 在第1个5年就开始统计的17个小类中,

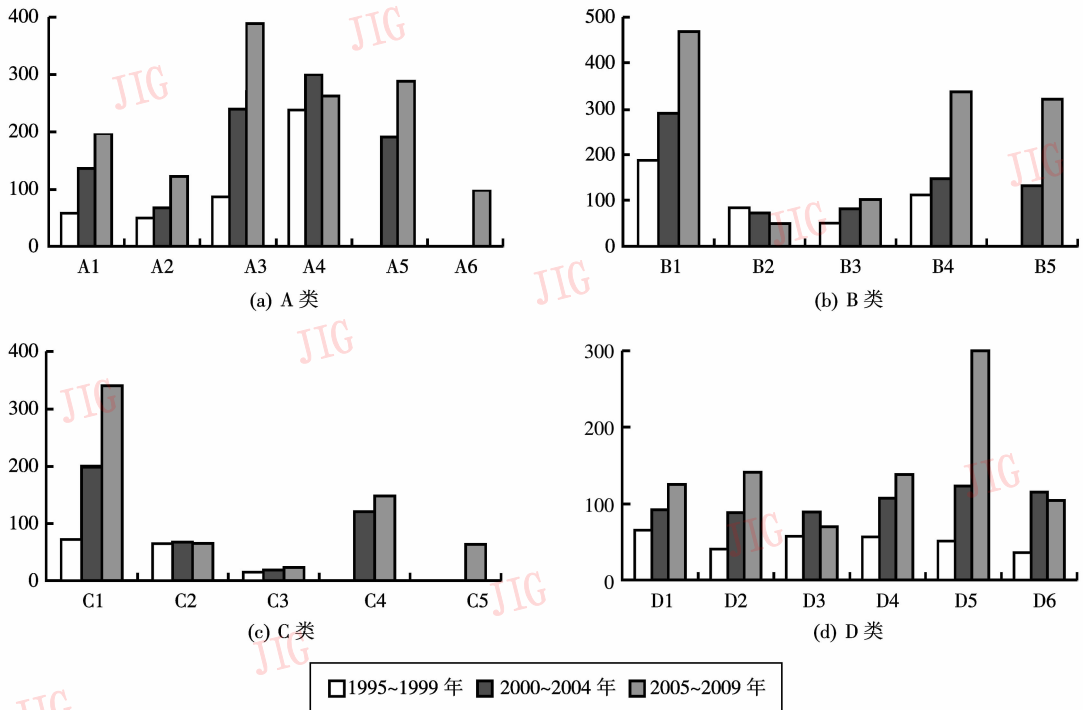


图 2 前后 3 个 5 年各类文献数量的对比情况

Fig. 2 Comparison of the numbers of publications for different techniques in three "five-year"

3) 在第 2 个 5 年开始统计的 3 个小类的文献数量在第 3 个 5 年中都多于第 2 个 5 年,其中 B5 的增幅最大,翻了一倍多。这表明 10 年前将这些小类添加到综述系列中是非常正确的,它们代表了新的研究方向,且这些年还得到了长足的发展。

6 结 论

本文是关于中国图像工程的年度文献综述系列之十五。文中先根据该综述系列一贯的期刊选取以及文献选取和分类原则,对 2009 年在中国图像工程重要期刊上发表的超过 1 000 篇有关文献进行了选取、分类、统计、分析和讨论。从对统计结果的分析以及与综述系列以前相关数据^[1-15]的综合比较可以看出图像工程的研究和应用在我国又有了许多新的进展。有些主要研究热点也有一定的变化。另外,从该文中除了可以了解当前我国图像工程研究和应用的总体情况,也可以建立对学科的全面认识并找到制定学科发展方向的一些具体依据。

对中国图像工程的年度文献综述已有 15 年了,所以本文还将该系列 15 年来的统计数据分成 3 个 5 年阶段进行了对比分析和讨论,以期提供了一个

更为概括的回顾和总结,更为全面可靠地了解这 15 年中国图像工程的动态发展情况和趋势。

本综述系列除对中国图像工程的发展起到了一定的推动和引导作用外,还促进了一些相关领域综述系列的产生。这个工作对揭示我国图像工程科技人员的水平,现状和变化的研究也打下了很好的基础^[19]。所以,虽然这个工作随着文献数量的增加,工作量也迅速增加,而且需要大量的收集、阅读、分析和统计等人工投入(自动化类似工作的尝试表明,尽管其中有些步骤可以借助计算机来进行,但人工的检验和校正对保证质量仍是必不可少的^[30]),但却是很有意义的。对中国图像工程不断发展前进的新“图像”将会继续描绘下去。

参考文献 (References)

- [1] Zhang Yujin. Image engineering in China: 1995 [J]. Journal of Image and Graphics, 1996, 1(1): 78-83. [章毓晋. 中国图像工程: 1995 [J]. 中国图象图形学报, 1996, 1(1): 78-83.]
- [2] Zhang Yujin. Image engineering in China: 1995 (Suppl.) [J]. Journal of Image and Graphics, 1996, 1(2): 170-174. [章毓晋. 中国图像工程: 1995 (续) [J]. 中国图象图形学报, 1996, 1(2): 170-174.]

- [3] Zhang Yujin. Image engineering in China; 1996 [J]. Journal of Image and Graphics, 1997, 2(5): 336-344. [章毓晋. 中国图像工程: 1996 [J]. 中国图象图形学报, 1997, 2(5): 336-344.]
- [4] Zhang Yujin. Image engineering in China; 1997 [J]. Journal of Image and Graphics, 1998, 3(5): 404-414. [章毓晋. 中国图像工程: 1997 [J]. 中国图象图形学报, 1998, 3(5): 404-414.]
- [5] Zhang Yujin. Image engineering in China; 1998 [J]. Journal of Image and Graphics, 1999, 4(5): 427-438. [章毓晋. 中国图像工程: 1998 [J]. 中国图象图形学报, 1999, 4(5): 427-438.]
- [6] Zhang Yujin. Image engineering in China; 1999 [J]. Journal of Image and Graphics, 2000, 5A(5): 359-373. [章毓晋. 中国图像工程: 1999 [J]. 中国图象图形学报, 2000, 5A(5): 359-373.]
- [7] Zhang Yujin. Image engineering in China; 2000 [J]. Journal of Image and Graphics, 2001, 6A(5): 409-424. [章毓晋. 中国图像工程: 2000 [J]. 中国图象图形学报, 2001, 6A(5): 409-424.]
- [8] Zhang Yujin. Image engineering in China; 2001 [J]. Journal of Image and Graphics, 2002, 7A(5): 417-433. [章毓晋. 中国图像工程: 2001 [J]. 中国图象图形学报, 2002, 7A(5): 417-433.]
- [9] Zhang Yujin. Image engineering in China; 2002 [J]. Journal of Image and Graphics, 2003, 8A(5): 481-498. [章毓晋. 中国图像工程: 2002 [J]. 中国图象图形学报, 2003, 8A(5): 481-498.]
- [10] Zhang Yujin. Image engineering in China; 2003 [J]. Journal of Image and Graphics, 2004, 9(5): 513-531. [章毓晋. 中国图像工程: 2003 [J]. 中国图象图形学报, 2004, 9(5): 513-531.]
- [11] Zhang Yujin. Image engineering in China; 2004 [J]. Journal of Image and Graphics, 2005, 10(5): 537-560. [章毓晋. 中国图像工程: 2004 [J]. 中国图象图形学报, 2005, 10(5): 537-560.]
- [12] Zhang Yujin. Image engineering in China; 2005 [J]. Journal of Image and Graphics, 2006, 11(5): 601-623. [章毓晋. 中国图像工程: 2005 [J]. 中国图象图形学报, 2006, 11(5): 601-623.]
- [13] Zhang Yujin. Image engineering in China; 2006 [J]. Journal of Image and Graphics, 2007, 12(5): 753-775. [章毓晋. 中国图像工程: 2006 [J]. 中国图象图形学报, 2007, 12(5): 753-775.]
- [14] Zhang Yujin. Image engineering in China; 2007 [J]. Journal of Image and Graphics, 2008, 13(5): 825-852. [章毓晋. 中国图像工程: 2007 [J]. 中国图象图形学报, 2008, 13(5): 825-852.]
- [15] Zhang Yujin. Image engineering in China; 2008 [J]. Journal of Image and Graphics, 2009, 14(5): 809-837. [章毓晋. 中国图像工程: 2008 [J]. 中国图象图形学报, 2009, 14(5): 809-857.]
- [16] Lin Beidian, Zhang Qisu. A Guide to the Core Journals of China [M]. Beijing: Beijing University Publishers, 1996. [林被甸, 张其苏. 中文核心期刊要目总览 [M]. 北京: 北京大学出版社, 1996.]
- [17] Zhang Yujin. Image engineering in China and some current research focus [J]. Journal of Computer-Aided Design and Graphics, 2002, 14(6): 489-500. [章毓晋. 中国图像工程及当前的几个研究热点 [J]. 计算机辅助设计与图形学学报, 2002, 14(6): 489-500.]
- [18] Zhang Yujin, Li Rui. Statistical analysis on the articles and authors of "China Journal of Image and Graphics" [J]. Journal of Image and Graphics, 2000, 5A(1): 6-10. [章毓晋, 李睿. 对《中国图象图形学报》论文和作者的统计分析 [J]. 中国图象图形学报, 2000, 5A(1): 6-10.]
- [19] Zhang Yujin, Li Rui. Statistical analysis on the authors of paper cited in the survey series "Image Engineering in China" [J]. Journal of Image and Graphics, 2001, 6A(1): 1-5. [章毓晋, 李睿. 对“中国图像工程”综述系列里文献作者的统计分析 [J]. 中国图象图形学报, 2001, 6A(1): 1-5.]
- [20] Zhang Yujin. An English-Chinese Dictionary of Image Engineering [M]. Beijing: Tsinghua University Press, 2009. [章毓晋. 英汉图像工程辞典 [M]. 北京: 清华大学出版社, 2009.]
- [21] Ding Xuedong. Fundamentals of Literature Metrology [M]. Beijing: Beijing University Publishers, 1993. [丁学东. 文献计量学基础 [M]. 北京: 北京大学出版社, 1993.]
- [22] Zhang Yujin, Hu Feng. Ten years' statistical analysis on the articles and authors of "Journal of Image and Graphics" since its first publication [J]. Journal of Image and Graphics, 2006, 11(1): 1-7. [章毓晋, 胡峰. 对《中国图象图形学报》创刊10年来文章和作者的统计分析 [J]. 中国图象图形学报, 2006, 11(1): 1-7.]
- [23] Zhang Yujin, Ma Jing. Statistic analysis of Lotka's parameters for "Chinese Journal of Image and Graphics" [J]. Journal of Image and Graphics, 2007, 12(5): 776-781. [章毓晋, 马婧. 对《中国图象图形学报》之洛特卡分布参数的统计分析 [J]. 中国图象图形学报, 2007, 12(5): 776-781.]
- [24] Zhang Yujin, et al. Subspace-Based Face Recognition [M]. Beijing: Tsinghua University Press, 2009. [章毓晋, 等. 基于子空间的人脸识别 [M]. 北京: 清华大学出版社, 2009.]
- [25] Zhang Yujin (ed.). Advances in Face Image Analysis: Techniques and Technologies [M]. Hershey, Philadelphia, USA: IGI Global, 2010.
- [26] Zhang Yujin. Image Segmentation [M]. Beijing: Science Publishers, 2001. [章毓晋. 图像分割 [M]. 北京: 科学出版社, 2001.]
- [27] Zhang Yujin. Advances in Image and Video Segmentation [M]. Hershey, Philadelphia, USA: IRM Press, 2006.
- [28] Zhang Yujin. Content-Based Visual Information Retrieval [M]. Beijing: Science Publishers, 2003. [章毓晋. 基于内容的视觉信息检索 [M]. 北京: 科学出版社, 2003.]

- [29] Zhang Yujin. Semantic-Based Visual Information Retrieval [M]. Hershey, Philadelphia, USA: IRM Press. 2007.
- [30] Rosenfeld A. Classifying the literature related to computer vision and image analysis [J]. Computer Vision and Image Understanding, 79(2): 308-323, 2000.

附录:本文统计的文献(共 1 008 篇)分类一览

同类中的文章按作者姓名之拼音排序,同拼音者按音调排序,同音调者再按笔划排序;作者全同按文献名排序。

为节省篇幅,作者多于 3 人仅列前 3 人(后加“等”字),刊名用文中缩写代号(见表 1),发表年份(2009)均省略。

A:图像处理(共 312 篇)

A1:图像获取(53 篇)

- 白雪茹,周峰,邢孟道,等.空中微动旋转目标的二维 ISAR 成像算法. DX,37(9):1937-1943.
- 曹敏,付耀文,黎湘,等.基于 FRFT 的大型平稳目标 ISAR 成像算法. XC,25(9):1458-1462
- 邓云凯,郑远,胡英辉.随机调频信号旁瓣抑制及成像. DxX,31(8):1886-1891.
- 丁琳,任留成,侯哲威.动态空间正图像透视投影正反解. CX,38(6):502-505.
- 丁小峰,魏玺章,胡杰民,等.弹道中段目标多普勒成像算法研究. DxX,31(12):2864-2868.
- 傅丹,周剑,邱志强,等.基于直线的几何不变性标定摄像机参数. ZTu,14(6):1058-1063.
- 龚镇强,张晓玲.非移变模式机载双基地 SAR 成像算法及实验结果. DxX,31(1):173-176.
- 韩冰,丁赤飏,梁兴东,等.超高分辨率机载聚束 SAR 空变运动误差校正. DxX,31(5):1249-1252.
- 何凯,唐平凡,王成优.基于高斯曲面拟合的影像渐晕复原方法. DX,37(1):67-71.
- 侯颖妮,李道京,洪文.稀疏阵时分多相位中心孔径综合及其应用. DxX,31(4):798-802.
- 胡栋材,陈浩,张定华.基于平板探测器的锥束 CT 散射校正方法. CT,18(1):16-22.
- 胡芬,王密,李德仁,等.基于投影基准面的线阵推扫式卫星立体像对近似核线影像生成方法. CX,38(5):428-436.
- 江志红,程翥,万建伟,等.调频连续波 SAR MCM 成像算法. XC,25(1):81-86.
- 井伟,张磊,邢孟道,等.聚束式 SAR 的宽场景成像算法. DX,37(3):470-475.
- 李斌,姚康泽,王岩,等.基于微动分析和 Chirplet 分解的成像. XC,25(2):264-269.
- 李建阳,常文革.超宽带 SAR 大测绘带成像的运动补偿技术研究. YX,13(1):112-116.
- 李文臣,王雪松,丹梅,等.对称目标的 ISAR 成像横向距离定标方法与性能分析. DxX,31(10):2504-2508.
- 李珣,朱善安.基于时间反演方法的三维磁感应磁声成像电导率重建. ZS,28(1):48-52.
- 李亚楠,付耀文,黎湘.多目标 ISAR 成像研究综述. XC,25(7):1092-1096.
- 李增辉,何峰,朱炬波,等.基于 FTFDS 快速重建瞬时 ISAR 图像. XC,25(4):639-643.
- 梁毅,王虹现,邢孟道,等.基于 FMCW 的大斜视 SAR 成像研究. DxX,31(4):776-780.
- 刘碧丹,韩松,王岩飞.图像幅度和值最小化自聚焦算法. DxX,31(4):768-771.
- 刘忠训,代大海,王雪松,等.极化 SAR 动目标定位中的残差图像干涉相干性分析. DxX,31(3):606-609.
- 马仑,廖桂生,李真芳.多通道 SAR 误差估计与补偿方法及其实测数据验证. DxX,31(6):1305-1309.
- 毛新华,朱岱寅,朱兆达.一种适用于调频步进信号 SAR 的 2 维子孔径处理算法. ZTu,14(10):1942-1949.
- 孙光才,白雪茹,周峰,等.一种新的无源压制性 SAR 干扰方法. DxX,31(3):610-613.
- 谭鸽伟,邓云凯.机载 SAR 的运动误差的二维空变性及其补偿. DxX,31(2):366-369.
- 谭鸽伟,邓云凯.一种改进的斜视 SAR 运动补偿波数域算法. DxX,31(1):156-159.
- 谭维贤,洪文,王彦平,等.基于波数域积分的人体表面微波三维成像算法研究. DxX,31(11):2541-2545.
- 王本庆,李兴国.近程毫米波合成孔径辐射计成像算法. DX,37(6):1353-1356.
- 王怀军,陆珉,许红波,等. MIMO 雷达成像外场实验研究. XC,25(11):1814-1819.
- 王怀军,粟毅,朱宇涛,等.基于空间谱域填充的 MIMO 雷达成像研究. DX,37(6):1242-1246.
- 王建,周智敏,宋千,等. SAR 图像二维旁瓣自适应抑制技术. XC,25(7):1108-1114.
- 王鹏宇,宋千,金添.步进频率 SAR 快时间多普勒效应补偿新方法. DxX,31(9):2053-2058.
- 王昕,朱岱寅,朱兆达.基于 Chirp Scaling 的双基 SAR 成像 PFA 算法研究. DxX,31(7):1674-1678.
- 蔚婧,廖桂生,曾操.基于协方差矩阵特征分解的多通道 SAR-GMTI 方法及性能分析. DxX,31(2):374-377.
- 武其松,井伟,邢孟道,等. MIMO-SAR 大测绘带成像. DxX,31(4):772-775.
- 夏玉立,黄瑶,雷宏.双站聚束 SAR 极坐标格式成像算法. SC,24(1):49-54.
- 夏玉立,雷宏,黄瑶.分布式小卫星多中心频率 SAR 实

现宽域二维高分辨率成像. *DxX*,31(2):501-504.

- 谢华英,赵宏钟,付强.基于变换的大前斜视多普勒参数估计方法. *XC*,25(2):210-215.
- 徐丰,金亚秋.双站 SAR 图像的极化分析. *DxX*,31(1):182-187.
- 徐国梁,谭庆平.均衡集束网点密度的伪随机混合抖动半色调化算法的研究. *JX*,32(8):1550-1559.
- 徐征,何为,何传红,等.开放式磁感应成像原理及成像试验研究. *ZS*,28(1):141-144.
- 闫丹丹,高诺,张孝通,等.基于扩散张量成像技术的大脑组织磁共振电导率重构的仿真研究. *ZS*,28(1):53-57.
- 杨克虎,姬靖,郭建军,等.高动态范围图像和色阶映射算子. *ZX*,35(2):113-131.
- 叶钊,何峰,梁甸农.基于 EMEMP 的雷达二维信号融合成像新方法. *DX*,37(12):2609-2613.
- 张冬晨,王东进,陈卫东.基于联合互时频分布的 InISAR 三维成像方法. *DX*,37(4):833-838.
- 张磊,井伟,邢孟道,等.同航线双基聚束式 SAR 宽场景成像算法. *DxX*,31(7):1679-1683.
- 张仕山,靳学明.一种 SAR 相干干扰信号产生快速算法. *DX*,37(1):108-111.
- 张远辉,韦巍,虞旦,等.基于影子的乒乓球机器人单目视觉系统标定. *ZTu*,14(9):1895-1899.
- 甄杰,张振华,吴顺君.基于 GPS 信号的双基 SAR 数值距离徙动成像算法. *DxX*,31(9):2039-2043.
- 周红,黄晓涛,常玉林,等.基于三通道 UWB SAR 子孔径图像序列的 ATI 方法. *DX*,37(5):930-936.
- 朱宇涛,郁文贤,粟毅.一种基于 MIMO 技术的 ISAR 成像方法. *DX*,37(9):1885-1894.

A2: 图像重建 (25 篇)

- 曹常利,赵文仓,于新波,等.层析成像技术多相流检测的应用研究. *CT*,18(2):58-65.
- 曹玉茹,韦穗.分数傅里叶全息图的算法研究及显示. *ZTu*,14(8):1569-1577.
- 陈德运,陈宇,王莉莉,等.基于改进 Gauss-Newton 的电容层析成像图像重建算法. *DX*,37(4):739-743.
- 陈延平,白净.荧光分子断层成像系统的研究进展与比较. *ZS*,28(3):463-368.
- 陈阳,严勇,吴昊,等.基于一种新的非局部二次 MRF 先验模型的 Bayesian 图像重建. *DX*,37(4):744-749.
- 范文茹,王化祥,马雪翠.基于先验信息的肺部电阻抗成像算法. *ZS*,28(5):680-685.
- 方杰,韦穗,苏守宝.基于整体变分降噪算法下的多频率超声衍射层析成像. *DX*,37(4):828-832.
- 胡小舟,孔斌,成二康,等.一种基于 POCS 约束的图像

代数重建算法. *MR*,22(5):763-768.

- 黄嵩,张占龙,罗辞勇,等.电阻抗静态成像中混合正则化算法抗噪性能的仿真研究. *ZS*,28(2):309-313.
- 李红艳,佟丽丽.基于约束 Landweber 迭代的重建算法. *CT*,18(3):10-14.
- 李亮,陈志强,康克军,等.感兴趣区域 CT 图像重建方法及模拟实验. *CT*,18(1):1-7.
- 李真真,杨晓东,杜明辉.一种指数型动态螺距螺旋轨道的三维精确重建. *ZS*,28(6):827-833.
- 连亚琴,张斌,潘晋孝.一种改进的基于原始投影数据的 CT 硬化校正方法. *CT*,18(1):23-28.
- 刘畅,邱钧,肖波.一种基于对称结构优化的 OSEM 快速重建算法. *CT*,18(4):1-8.
- 刘阳,闫丹丹,朱善安.头部组织感应电流磁共振电阻抗成像仿真研究. *ZS*,28(2):244-250.
- 马晨欣,闫斌,江桦.扇束 CT 中短扫描方式下数据重排技术的研究与实现. *CT*,18(3):15-21.
- 宋沛然,渠刚荣.基于特殊窗函数的局部 CT 图像重建算法及其分析. *CT*,18(3):1-9.
- 陶进绪,张东文,叶寒生.频域法超声逆散射成像. *XC*,25(2):169-173.
- 王林元,李磊,闫斌,等.稀疏信号恢复理论在 CT 图像重建中的应用. *CT*,18(3):22-29.
- 许国辉,刘志朋,李经宇,等.感应式磁声成像正问题数学模型及仿真. *ZS*,28(4):481-484.
- 许全盛,袁克虹,于丽娟,等. PET/CT 图像呼吸运动伪影校正研究进展. *ZS*,28(4):573-580.
- 张峰,闫斌,李建新,等.工业 X-CT 散射校正技术综述. *CT*,18(4):34-43.
- 张顺利,张定华,赵歆波,等.一种射束与像素的快速遍历和求交算法. *ZTu*,14(10):1961-1965.
- 赵祥模,李娜,关可,等.基于 LTI 射线追踪的改进的 ART 算法. *ZTu*,14(5):859-865.
- 赵星,胡晶晶,潘晓川,等.一种新的基于 GPU 实现的锥束 CT 正投影算法. *DX*,37(6):1165-1169.

A3: 图像增强和恢复等 (102 篇)

- 白银刚,于盛林,李建明.一类新的广义形态开和广义形态闭滤波器. *ZTu*,14(8):1523-1529.
- 白银刚,于盛林.一种广义多结构元形态滤波器. *DX*,37(4):792-797.
- 边策,钟桦,焦李成.基于非下采样 Contourlet 变换和双变量模型的图像去噪. *DxX*,31(3):561-565.
- 蔡泽民,赖剑煌.一种基于超完备字典学习的图像去噪方法. *DX*,37(2):347-350.
- 曹扬,罗予频,杨士元.基于混合线性模型的图像去噪. *JX*,32(11):2260-2264.

- 陈法灵,刘爱平,谭洪舟. LCD 运动图像模糊的分析与建模. XC,25(7):1164-1168.
- 陈国金,朱妙芬,张克松. 图像调焦过程的清晰度评价函数研究. SC,24(2):165-169.
- 陈强,纪则轩,孙权森,等. 基于光能分配的遥感图像增强. ZTu,14(11):2284-2291.
- 陈永彬,张松. 小波域图像块修复. SC,24(5):650-654.
- 陈玉,严壮志,钱跃站. 基于格子波尔兹曼模型的图像去噪. DX,37(3):574-580.
- 程巧翠,高协平. 平移不变的小波域近邻系数阈值 MR 图像去噪. ZTu,14(7):1284-1290.
- 崔颖,赵春晖,汤春明,等. 自适应加权镜像阈值层叠滤波器. ZTu,14(7):1279-1283.
- 丁兴号,王鑫芯,肖泉,等. 一种新的基于彩色双边滤波的彩色图像增强方法. ZTi,14(2):143-146.
- 董鸿燕. 自适应模糊边缘减宽增强算法. ZTu,14(2):255-259.
- 方红,王年,章权兵,等. 基于稀疏贝叶斯学习的图像重建方法. ZTu,14(6):1064-1069.
- 冯强,于盛林,张维. 基于细胞神经网络的图像复原新方法. ZTu,14(3):430-434.
- 付绍春,楼顺天. 基于区域纹理合成的图像修补算法. DxX,31(6):1319-1322.
- 葛洪伟,王士同. 用于图像恢复的基于正则化可能性线性模型的自适应滤波器. MR,22(4):541-547.
- 郭巍,张平,陈曦,等. 基于双密度双树复数小波变换的合成孔径雷达图像降噪研究. DX,37(12):2747-2752.
- 贺秀萍,韩萍,吴仁彪,等. 一种新的 X 射线手提行李图像增强方法. ZTu,14(5):866-870.
- 胡琼,汪荣贵,胡韦伟,等. 基于直方图分割的彩色图像增强算法. ZTu,14(9):1776-1781.
- 胡伟,秦开怀. 高分辨率灰度图像的快速多分辨率着色. JX,32(5):1062-1068.
- 胡彦婷,高新波,路文,等. 一种基于视觉感知的非线性幅型比变换方法. ZTu,14(6):1082-1087.
- 胡正平,刘博,王成儒. 基于极大灰度频数抑制结合动态直方图均衡的图像增强算法. DxX,31(6):1327-1331.
- 霍炎,荆涛,张德珍,等. 基于人眼视觉系统的误差分布反馈量化策略. XC,25(4):537-542.
- 贾建,焦李成,项海林. 基于双变量阈值的非下采样 Contourlet 变换图像去噪. DxX,31(3):532-536.
- 姜三平,郝晓剑. 应用小波系数 GSM 统计模型的混合傅里叶-小波图像降噪. ZTu,14(3):448-451.
- 焦莉莉,刘丽,马苗. 改进的自适应阈值小波图像抑噪算法. ZTi,14(2):152-155.
- 金良海,姚行中,李德华. 彩色图像矢量滤波技术综述. ZTu,14(2):243-254.
- 李宏,李翔,朱霞,等. 基于图像分解的含噪破损图像修复. SC,24(3):295-299.
- 李利,范九伦. 基于 Radon 变换的指纹图像滤波增强方法. ZTu,14(3):417-421.
- 梁茜,丁宣浩. 具有消失矩的对称紧支撑双正交多尺度分析的构造. SC,24(3):386-390.
- 梁晓冰,刘希顺,刘安芝,等. 噪声在脉冲耦合神经网络图像增强中的作用. ZS,28(4):485-489.
- 刘国军,冯象初,张选德. 波原子纹理图像阈值算法. DxX,31(8):1791-1795.
- 刘鹏,刘定生,李国庆. 基于噪声与图像同步迭代来确定时间步进法的规整化参数. DxX,31(7):1711-1715.
- 刘瑞华,鲍政,黎芳. 基于两幅模糊与噪声图像的图像交替修复算法. ZTu,14(12):2451-2455.
- 刘薇,徐凌,杨光. 基于双树复小波二元统计模型的图像去噪方法. ZTu,14(7):1291-1297.
- 龙燕,杨福增. 基于非采样 Contourlet 变换和 Wiener 滤波的图像去噪. ZTi,14(2):147-151.
- 卢成武,宋国乡. 一种全变差正则化流场的图像抑噪方法. DxX,31(1):112-115.
- 路文,高新波,王体胜. 一种基于小波分析的部分参考型图像质量评价方法. DxX,31(2):335-338.
- 罗忠亮,林土胜. 基于曲波变换的图像非线性对比度增强. SC,24(4):413-417.
- 欧梅芳,宋瑞霞. V 系统在图像消噪中的应用. ZTu,14(7):1447-1452.
- 庞建新,张荣,张晖,等. 图像结构失真的编码质量评价. ZTu,14(8):1560-1568.
- 庞全,王振华,耿硕硕,等. 基于分形维数的图像质量客观评价方法研究. ZTu,14(4):657-662.
- 钱惟贤,陈钱,顾国华,等. 一种新型图像噪声抑制各向异性扩散算法. ZTu,14(4):676-680.
- 曲怀敬,彭玉华. 基于 Contourlet 变换和非线性扩散的 IVUS 图像去噪. ZS,28(4):490-495.
- 沙宇恒,刘芳,焦李成. 基于非下采样 Contourlet 变换的 SAR 图像增强. DxX,31(7):1716-1721.
- 沈岷,李舜酩,毛建国,等. 数字图像复原技术综述. ZTu,14(9):1764-1775.
- 沈民奋,陈家亮,代龙泉,等. 基于图像分解和区域分割的数字图像修复. DC,23(9):11-17.
- 宋珩,王世喆,计科峰,等. 基于结构保持 MRF 模型的 SAR 图像去斑. DxX,31(3):745-748.
- 宋锦萍,陈花竹,台雪成. 一种 PDE 图像分解去噪模型及算法. ZTu,14(8):1547-1552.
- 孙肖,李维国. 原对偶积极集法求解改进的有界约束图像恢复问题. ZTu,14(3):435-442.
- 谭裴,周荷琴. 基于差分演化算法的 MR 图像平移运动

伪影校正. SC,24(4):519-523.

- 唐权华,雷金娥,周艳,等.基于多级空间压缩测度积分的中值计算方法. ZTu,14(4):642-646.
- 万晟聪,杨新.基于自适应小波阈值的 SAR 图像降噪. XC,25(6):874-881.
- 王波,孔祥维,尤新刚,等.基于协方差矩阵的 CFA 插值盲检测方法. DxX,31(5):1175-1179.
- 王发牛,梁栋,程志友,等.一种基于非抽样 LP 的 Contourlet 变换图像去噪方法. ZTu,14(3):458-462.
- 王俊文,刘光杰,戴跃伟,等.一种估计 JPEG 双重压缩原始量化步长的新方法. DxX,31(4):836-839.
- 王利,陈允杰,汤杨,等.相关扩散方程在图像修补中的应用. ZTu,14(1):71-76.
- 王利颖,蒋亚东,罗凤武,等.一种自适应红外图像增强新算法. XC,25(12):1836-1839.
- 王培珍,黄永华,高尚义.一种基于模糊推理的噪声检测及自适应滤波方法. ZTu,14(11):2217-2222.
- 王睿,方勇.基于 2-D 公共因子的精确提取的图像盲复原方法. DxX,31(1):108-111.
- 王嵩,李宏,朱霞,张卫.基于全景图像和状态匹配的视场修复算法. SC,24(5):694-698.
- 王文远.基于图像信噪比选择优化高斯滤波尺度. DxX,31(10):2483-2487.
- 王艳红,李维国.一种高斯曲率策动和高阶微分相融合的去噪方法. ZTu,14(2):260-266.
- 王正友,胡国胜,吴海燕,等.一种结合感知与融合的视频质量评价新方法. ZTu,14(10):2165-2171.
- 王正友,叶金财,伍双,等.一种结合边缘检测的模糊估计新方法. ZTu,14(11):2406-2410.
- 王志民,徐晓刚.基于单象限 Fourier-Mellin 域相位相关的快速稳像算法. ZTu,14(9):1790-1795.
- 王志明,张丽.局部结构自适应的图像扩散. ZX,35(3):244-250.
- 王志明,张丽.自适应的快速非局部图像去噪算法. ZTu,14(4):669-675.
- 魏为民,唐振军.利用 JPEG 块效应不一致性的合成图像盲检测. ZTu,14(11):2387-2390.
- 向学勤,范影乐,庞全,等.基于神经元阈上非周期随机共振机制的灰度图像复原研究. ZTu,14(1):77-81.
- 肖竹,钟桦,易克初.一种基于复小波域的图像相干斑抑制算法. XC,25(2):180-184.
- 谢剑斌,刘通,任勇,等.一种用于抑制椒盐噪声的自适应快速滤波算法. ZTu,14(5):843-847.
- 谢可夫,周心一,许光平.量子衍生坍塌形态学滤波. ZTu,14(5):967-972.
- 谢逸群,王慧雅,许华虎.基于视频实时处理的多投影曲面拼接系统的研究. ZTu,14(2):286-291.
- 徐进,孙军,王兴东,等.一种改进的基于 MRF 模型的斑块检测算法. ZTu,14(11):2401-2405.
- 徐永键,李丹,谭洪舟.基于 LS-SVM 的 LCD 运动图像模糊的改善研究. XC,25(8):1209-1214.
- 杨春玲,高文瑞.基于结构相似的小波域图像质量评价方法的研究. DX,37(4):845-849.
- 杨家红,何明志,余利忠,等.结合 USFFT Curvelet 变换的各向异性扩散图像去噪模型. TX,30(1):82-87.
- 杨学志,沈晶,范良欢.基于非局部均值滤波的结构保持相干斑噪声抑制方法. ZTu,14(12):2443-2450.
- 杨以琴,张伟涛,楼顺天.模糊推理最大熵图像恢复算法. ZTu,14(4):652-656.
- 姚伟,孙即祥.利用点扩展函数信息的变分图像去噪及增晰方法. ZTu,14(9):1796-1801.
- 于忠党,王龙山.基于 LS-SVR 的图像噪声去除算法研究. ZX,35(4):364-370.
- 余丽红,冯衍秋,陈武凡.基于自适应正则化的全变分去噪算法. ZTu,14(10):1950-1954.
- 喻莉,郭姗,徐士麟,等.基于人眼感知特性的亮度系数压缩方法. ZTu,14(3):452-457.
- 岳冬雪,黄新生,谭红力.基于仿射投影的弹载图像几何失真校正方法. ZTu,14(4):663-668.
- 张超,胡绍海,肖扬.二维离散傅立叶—离散小波混合变换及其在超声波医学图像去噪中的应用. XC,25(3):464-468.
- 张洁,杨丰.无抽样方向滤波器组的设计及其在医学图像增强中的应用. XC,25(8):1257-1260.
- 张林,朱兆达.基于非降采样 Contourlet 变换的非线性图像增强新算法. DxX,31(8):1786-1790.
- 张瞳,朱虹,张然,等.复小波域维纳滤波与偏微分扩散相结合的图像去噪方法. ZTu,14(5):848-852.
- 张伟,刘文波,张弓,等. SAR 图像的 NSCT 域自适应收缩相干斑抑制. ZTu,14(1):8-13.
- 张伟,隋青美.改进最小均方误差估计的煤尘图像去噪. DC,23(9):51-56.
- 张文革,刘芳,高新波,等.一种自适应多尺度积阈值的图像去噪算法. DxX,31(8):1779-1785.
- 张志强,王万玉.一种改进的双边滤波算法. ZTu,14(3):443-447.
- 赵春晖.层叠滤波器的研究进展与分析. DC,23(5):1-10.
- 赵晶晶,湛海新,刘星彤,等.红外小目标图像预处理方法研究. XC,25(7):1088-1091.
- 钟凡,秦学英,陈佳舟,等.在线视频分割实时后处理. JX,32(2):261-267.
- 周登文,刘克勤.基于对偶树复数小波变换的邻域自适应的图像降噪. DxX,31(5):1197-1200.

- 周汉飞,王孝通,徐晓刚. 基于高斯比例混合模型的图像非下采样 Contourlet 域去噪. *DxX*,31(8):1796-1800.
- 周先国,李开宇. 基于 Contourlet 变换的图像 DCT 去噪新方法. *ZTu*,14(11):2212-2216.
- 朱为,李国辉. 基于自动结构延伸的图像修补方法. *ZX*,35(8):1041-1047.

A4: 图像(视频)压缩编码(46篇)

- 陈冬,张田文,李东. 二通道线性相位 Neville-Lagrange 提升小波滤波器组设计. *JX*,32(7):1413-1423.
- 陈冬,张田文. 主扫描混合编码的嵌入零树小波改进算法. *ZTu*,14(9):1802-1807.
- 邓承志,曹汉强. 多尺度脊波字典的构造及其在图像编码中的应用. *ZTu*,14(7):1273-1278.
- 邓承志,汪胜前,曹汉强. 基于多原子快速匹配追踪的图像编码算法. *DxX*,31(8):1807-1811.
- 丁燕,宋雪桦,闫述,等. 基于快速运动估计 UM HexagonS 算法的改进. *SC*,24(5):660-663.
- 方健,郑伟,王匡,等. 一种针对 H. 264 的高性能反变换结构. *ZTu*,14(2):275-280.
- 冯燕,吕嘉凯,贾蒙,等. 一种结合 Contourlet 和小波变换的图像编码算法. *DxX*,31(6):1323-1326.
- 郭斌,王维东,叶青青,等. 基于概率估计更新的 CABAC 加速算法. *ZTu*,14(2):281-285.
- 郭大波,卢朝阳,焦卫东,等. 用于 DT 网格模型基视频编码的三角形分割准则. *TX*,30(5):88-93.
- 何爱香,朱云华,安凯. 超光谱影像的分布式信源编码压缩方法. *ZTu*,14(1):45-51.
- 何宜宝,毕彦笃,马时平,等. H. 264 中基于时空相关性的帧间模式选择算法. *ZTu*,14(12):2456-2462.
- 贺建新,曹岳辉. 一种新的面向 H. 264 低比特流的码率控制方法. *ZTu*,14(6):1119-1123.
- 胡晓飞,朱秀昌. 从单视点 DVC 到多视点 DVC 的研究进展. *ZTu*,14(10):1925-1933.
- 霍承富,张荣. 基于搜索最优双预测波段的超光谱遥感图像无损压缩. *DxX*,31(5):1144-1147.
- 金鑫,李亮,陈志强,等. 一种快速高效的 CT 投影数据无损压缩方案. *ZTi*,14(1):80-84.
- 康维国,李云松,王柯俨,等. 基于小波域分块和码率分配的高分辨率图像低复杂度压缩方法. *ZTi*,14(2):162-167.
- 孔繁镛,李云松,王柯俨,等. 基于码率预分配的 JPEG2000 自适应率控制算法. *DxX*,31(1):66-70.
- 李东平,潘志斌,乔瑞萍,等. 一种改进的 AEI 算法中初始匹配码字的快速查找方法. *ZTu*,14(9):1808-1812.
- 廖泰敏,郭宗明. 十字菱形六角形优化搜索算法. *ZTu*,14(8):1530-1533.
- 林海波. 一种非线性小波变换在图像压缩中的应用. *XC*,25(1):157-162.
- 林舒静,陈坚. 创新的高效方向性菱形-弧形快速块匹配运动估计算法. *XC*,25(7):1083-1087.
- 刘春辉,龚声蓉,张书奎,等. 快速 3D-MSPIHT 视频编码算法. *ZTu*,14(10):2159-2164.
- 刘佳,董金明. 一种新的 H. 264/AVC 快速帧内预测模式选择判决算法. *DxX*,31(5):1072-1076.
- 乔阳,潘志斌,乔瑞萍,等. 基于 Hadamard 变换和矢量分割的快速搜索算法. *ZTu*,14(11):2269-2275.
- 汪大勇,孙世新. 可伸缩视频编码研究现状综述. *DC*,23(8):78-84.
- 王凤琴,樊养余,赵炯,等. 基于变换域 Wyner-Ziv 视频编码的相关噪声模型. *SC*,24(5):609-614.
- 王世刚,林青,付庆兴,等. 基于视差和帧差运动检测的立体视频对象提取与压缩编码. *ZTi*,14(1):67-72.
- 王伟,李伟. 基于可变分块尺寸的多模板运动估计算法. *ZX*,35(1):34-38.
- 吴延海,闫宁,王丽君,等. 视频压缩中的运动估计算法. *ZTi*,14(2):173-177.
- 吴一全,郭建军. 基于 Krawtchouk 矩的自适应门限四叉树分形编码. *XC*,25(7):1033-1037.
- 武媛媛,郭英,苏兮,等. 改进的十字菱形搜索算法. *ZTi*,14(2):168-172.
- 严涛,安平,沈礼权,等. 一种新的视点间预测结构. *DxX*,31(7):1610-1614.
- 杨春玲,王华兴,梁荣锟. 基于结构相似的 H. 264 帧内预测改进算法. *JX*,32(8):1603-1610.
- 杨晓慧,焦李成,李登峰. 基于 Multibandelets 的自适应图像压缩. *DxX*,31(7):1615-1619.
- 曾孝平,郑赞,刘国金. 一种自适应的方向提升小波压缩算法. *SC*,24(5):600-604.
- 粘永健,苏令华,孙蕾,万建伟. 基于聚类的高光谱图像无损压缩. *DxX*,31(6):1271-1274.
- 粘永健,万建伟,靳成英. 结合预测误差反馈的高光谱图像无损压缩研究. *XC*,25(6):860-863.
- 粘永健,辛勤,万建伟. 基于分类非线性预测的高光谱图像无损压缩. *XC*,25(8):1223-1227.
- 张军,黄英君,代科学,等. 图像分解和区域保护在 SAR 图像压缩中的应用. *ZTu*,14(1):3-7.
- 张军,黄英君,高贵,等. 基于 ROI 自动提取的 SAR 图像压缩. *XC*,25(1):1-5.
- 张凯舟,刘鹏,姚庆栋. 基于自适应搜索模板的快速运动估计算法. *ZTu*,14(11):2191-2197.
- 张晓斐,熊红凯,张永生. 基于比特平面预测的分布式视频 WZ 帧重构方法. *ZTu*,14(10):2172-2176.
- 章国宝,李亮. 帧间编码模式选择及其择优早期终止的

H. 264/AVC 快速算法. ZTu, 14(1):59-64.

- 赵志杰,林茂六,曹志民,刘增玉. 基于 db2 提升小波的可伸缩视频编码方法. TX, 30(1):88-94.
- 周映虹,马争鸣. 基于层次模型的重要性编码算法. DxX, 31(6):1497-1500.
- 卓力,王仕宝,王素玉,等. 一种基于运动补偿三维小波的多描述视频编码方法. DX, 37(10):2154-2159.

A5: 图像数字水印和图像信息隐藏 (60 篇)

- 陈国明,印鉴,周端宁,等. 一种新的隐写分析方法: IKLDA. DX, 37(8):1762-1767.
- 戴蒙,赵学州. JPEG 二次压缩的分析与检测. ZTu, 14(12):2599-2602.
- 费如纯,王丽娜,张焕国. 基于颜色表扩展技术的数据隐藏方法. TX, 30(4):137-140.
- 冯小青,李黎,潘志庚. 一种强壮的基于几何特征分布的 3 维点模型数字水印算法. ZTu, 14(8):1534-1541.
- 郭萌,张鸿宾,魏磊. 二值图像中的数据隐藏算法. DX, 37(11):2409-2415.
- 郭艳卿,何德全,孔祥维,等. 基于多元回归的 JPEG 隐密分析方案. DX, 37(6):1378-1381.
- 郭艳卿,孔祥维,尤新刚. 基于共生特征和集成多超球面 OC-SVM 的 JPEG 隐密分析方法. DxX, 31(5):1180-1184.
- 韩妍妍,何文才,胡予淮. 具有理想对比度的可视密码方案. TX, 30(9):54-59.
- 何传江,李建国,苗婷. 结合分形编码的小波域水印方法. ZTu, 14(5):871-876.
- 何密,成礼智. 基于 Contourlet 变换和子空间投影的非对称数字水印. TX, 30(4):27-34.
- 胡裕峰,朱善安. 基于扩频调制和视觉掩蔽的彩色图像盲水印算法. ZTu, 14(7):1307-1312.
- 黄晓晴,于盛林,冯强. 一种在正交化分形压缩图像中嵌入灰度水印的方法. ZTu, 14(6):1124-1130.
- 江南,张帆,刘文予. 适合于网络传输的二次置乱图像加密算法. ZTu, 14(5):897-904.
- 江淑红,张建秋,胡波. 彩色图像超复数空间的自适应水印算法. DX, 37(8):1773-1778.
- 李建伟,胡永健,陈开英. 利用预测误差直方图平移的可逆数据隐藏技术. ZTu, 14(6):1088-1095.
- 李雷达,郭宝龙,表金峰. 基于奇偶量化的空域抗几何攻击图像水印算法. DxX, 31(1):134-1138.
- 廖鑫,温巧燕. 基于拉普拉斯算子统计量的 LSB 替换隐写分析方法. DxX, 31(5):1054-1058.
- 刘铎,戴一奇. 一个新的图像单幅可视隐藏方案. JX, 32(11):2247-2251.
- 刘丽,彭代渊. 一种新的适用于广播监视的安全视频水

印算法. JX, 32(11):2239-2246.

- 刘丽,彭代渊,李晓举. 适用于广播监视的安全视频水印方案. TX, 30(8):51-55.
- 刘旺,赵春晖. 体数据模型盲提取数字水印嵌入算法. DC, 23(10):13-18.
- 刘一,刘粉林,杨春芳. 基于帧间共谋的视频隐写分析. TX, 30(4):41-49.
- 刘祖根,平玲娣,史烈,等. 基于距离和的隐写分析. ZTu, 14(2):267-274.
- 楼偶俊,王钰旋. 基于特征点模板的 Contourlet 域抗几何攻击水印算法研究. JX, 32(2):308-317.
- 吕安强. 抵抗多种攻击的视频水印新方案. ZTu, 14(11):2205-2211.
- 吕安强. 一种新的半脆弱视频水印方案. ZTu, 14(10):1966-1971.
- 毛家发,林家骏,戴蒙. 基于图像攻击的隐藏信息盲检测技术. JX, 32(2):318-327.
- 毛家发,林家骏,韩津生. DCT 系数的统计模型及其接收机性能分析. ZTu, 14(9):1782-1789.
- 孟凡满,彭宏,裴峥,等. 一种基于支持向量机和遗传算法的自适应图像水印方法. MR, 22(2):312-317.
- 彭飞,孙星明. 一种利用 HVS 与标注特征的 2 维工程图信息隐藏算法. ZTu, 14(6):1102-1107.
- 邱应强,张育钊,郭荣新,等. 一种基于图像矢量量化压缩的数据隐藏方法. ZTu, 14(6):1096-1101.
- 孙建国,门朝光,马春光,等. 基于身份验证的矢量地图双图分形水印模型. TX, 30(9):24-28.
- 唐笑年,王树勋,王丹. Balanced opt-rec 多小波域内信息分层隐藏的分析与实现. DX, 37(6):1226-1231.
- 王朔中,张新鹏,张卫明. 以数字图像为载体的隐写分析研究进展. JX, 32(7):1247-1263.
- 王向阳,徐紫涵. 一种基于 SVR 几何校正的数字水印检测算法. ZTu, 14(6):1131-1135.
- 王小静,杨高波,朱宁波. 基于半脆弱水印的 H. 264/AVC 视频流的内容级认证. TX, 30(11):71-78.
- 王彦伟,黄正东. 基于 FFT 的三维网格强壮水印方法. XC, 25(6):934-940.
- 吴琼,孙韶杰,朱为,等. 数字图像盲取证对样本合成修复应用的篡改区域检测算法. ZX, 35(3):239-243.
- 肖俊,王颖. 基于多级离散余弦变换的鲁棒数字水印算法. JX, 32(5):1055-1061.
- 肖俊,王颖. 自适应抖动调制图像水印算法. DxX, 31(3):552-555.
- 谢建全,阳春华,黄大足,等. 一种大容量的 DCT 域信息隐藏算法. ZTu, 14(8):1542-1546.
- 徐长勇,平西建,刘翠卿. 安全的 MPEG 压缩视频数字隐写算法. ZTu, 14(11):2237-2246.

- 徐长勇,平西建,刘翠卿. 基于行程编码的二值图像数字隐写算法. SC,24(6):727-733.
- 徐达文,王继成,王让定. 基于 Zernike 矩的视频对象零水印算法. ZTu,14(9):1825-1831.
- 徐涛,张艳宁,孙瑾秋,等. 基于几何特征的 3 维网格模型零水印算法. ZTu,14(9):1819-1824.
- 徐紫涵,王向阳. 可有效抵抗一般性几何攻击的数字水印检测方法. ZX,35(1):23-27.
- 杨斌,李晓强,李伟. 一种鲁棒的 3 维网格模型数字水印算法. ZTu,14(12):2635-2639.
- 杨娟,杨丹,张小洪. 基于图像角点特征的第二代水印算法研究. ZTu,14(5):884-890.
- 叶天语,钮心忻,杨义先. 多功能双水印算法. DxX,31(3):546-551.
- 郁滨,徐晓辉,房礼国. 基于累积矩阵的可防欺骗视觉密码方案. DxX,31(4):950-953.
- 袁开国,张茹,许欣,等. 基于 MPEG-4 编码原理的信息隐藏算法设计. TX,30(5):48-53.
- 张朝辉,刘文予,郑玉婷,等. 局部集的 3D 模型水印方法. ZTu,14(7):1298-1306.
- 张大兴,张明敏,潘志庚,等. 基于数字水印的提花织物品牌认证方法. ZTu,14(12):2470-2477.
- 张东,倪江群,李大捷. 基于 GSM 模型的扩频水印安全性分析. ZX,35(7):841-850.
- 张飞,平西建,张涛. 基于 DCT 系数值对差异的 JSteg 隐写嵌入率估计法. SC,24(2):154-158.
- 张鸿生,李岩,曹阳. 一种采用曲线分割的矢量图水印算法. ZTu,14(8):1516-1522.
- 赵峰,李剑,李生红. 基于沃尔什-哈达玛变换和卷积编码的半脆弱水印算法. TX,30(10):89-95.
- 郑振东,王沛,李莉. 基于运动矢量域与 DCT 域的混合视频水印方案. ZTu,14(12):2631-2634.
- 周庆,胡月,廖晓峰. 一种自适应的图像加密算法的分析及改进. DX,37(12):2730-2734.
- 周庆,廖晓峰,胡月. 一类二值图像快速加密算法的压缩性能分析. DxX,31(8):2015-2018.
- 列超分辨率重建. DxX,31(1):120-123.
- 何鹏,陶建华. 基于 Sobolev 空间序列特征值问题的自然图像小尺度模式分析. ZX,35(12):1568-1573.
- 胡飞,张瑞. 一种改善被动毫米波重建图像质量的方法. XC,25(12):1962-1966.
- 刘洪臣,冯勇,赵永平. 基于 Kronecker 积的图像超分辨率快速算法. DX,37(4):839-844.
- 刘鸣,潘振宽. 一种基于 L1 的图像自适应分解变分方法. ZTu,14(6):1075-1081.
- 马成,马立勇. 基于灾变遗传算法的超分辨率图像恢复. ZTu,14(8):1510-1515.
- 马丽红,麦棣科,罗骁茜,等. 一种改进的 Curvelet 变换算法. SC,24(1):7-13.
- 阙介民,王燕芳,刘力. 利用像素错位法提高系统空间分辨率的实验研究. CT,18(1):83-87.
- 邵文泽,韦志辉. 基于各向异性 MRF 建模的多帧图像变分超分辨率重建. DX,37(6):1256-1263.
- 宋锦萍,高冉,朱方,等. PDE 技术的图像放大模型. ZTu,14(1):82-87.
- 宋锐,吴成柯,封颖,等. 一种新的基于 MAP 的纹理自适应超分辨率图像复原算法. DX,37(5):1124-1129.
- 苏本跃,盛敏. 彩色图像缩放的四元数插值算法. ZTu,14(12):2607-2610.
- 王素玉,沈兰荪,卓力,等. 一种基于权值矩阵的序列图像超分辨率盲复原算法. DX,37(6):1198-1202.
- 谢耀华,汤晓安,孙茂印. 不产生精度截断及数据膨胀的图像金字塔. ZTu,14(6):1070-1074.
- 杨阳,彭玉华,刘云霞,等. 基于方向滤波器组的无冗余拉普拉斯金字塔框架设计. DX,37(5):1046-1050.
- 杨越,高新波,李金秀. 一种运动自适应的帧速率上转换算法. ZTu,14(5):891-896.
- 张冬明,潘炜,陈怀新. 基于 MAP 框架的时空联合自适应视频序列超分辨率重建. ZX,35(5):484-490.
- 张洪艳,沈焕锋,张良培,等. 一种保边缘影像超分辨率重建方法. ZTu,14(11):2255-2261.
- 张美玉,王孝通,徐晓刚. 改进的图像自适应梯度插值. ZTu,14(5):853-858.
- 张志,王润生. 多帧图像超分辨率复原算法中帧的选取. XC,25(11):1775-1780.
- 张志,叶蓬,王润生. 基于 SIFT 特征的多帧图像超分辨率重建. ZTu,14(11):2373-2377.
- 郑鑫,杨建宇,李良超. 无源毫米波成像最大似然频域校正超分辨率算法. ZX,35(1):28-33.

A6: 图像多分辨率处理 (26 篇)

- 曹杨,李晓光,王素玉,等. 基于预分类学习的超分辨率复原算法. SC,24(4):514-518.
- 陈智能,高协平. 双正交小波的提升构造研究. JX,32(2):288-298.
- 程光权,成礼智. 基于小波的方向自适应图像插值. DxX,31(2):265-269.
- 范冲,龚健雅,朱建军,等. ALOS-PRISM 遥感影像超分辨率重建. YX,13(1):75-82.
- 韩玉兵,束锋,吴乐南. 基于加权最小二乘滤波的视频序

B: 图像分析 (共 335 篇)

B1: 图像分割和边缘检测 (102 篇)

- 蔡珣,孟祥旭,郝兴伟,等. 一种基于物理反射模型颜色

不变性的阈值分割算法. JX, 32(2):282-287.

- 曹琼,郑红,李行善. 基于免疫编码的图像特征选择方法. DX, 37(3):562-566.
- 褚一平,陈勤,黄叶珏,等. 基于随机蕨丛的双层视频分割算法. MR, 22(3):463-467.
- 崔华,高立群. 辅以区域力量的梯度矢量流测地线活动轮廓模型. ZTu, 14(5):938-943.
- 董建园,郝重阳,齐敏. 基于策略演化水平集的医学图像快速分割. ZTu, 14(8):1689-1695.
- 杜晓凤,李翠华,李晶. 基于复合感受野的轮廓检测算法. Dxx, 31(7):1630-1634.
- 樊亚春,周明全,耿国华. 消除光照影响的背景减除算法. ZTu, 14(7):1413-1417.
- 范九伦,雷博. 二维直线型最小误差阈值分割法. Dxx, 31(8):1801-1806.
- 范九伦,雷博. 灰度图像的二维交叉熵直线型阈值分割法. DX, 37(3):476-480.
- 范九伦,雷博. 灰度图像最小误差阈值分割法的二维推广. ZX, 35(4):386-393.
- 冯骥,肖非,朱光喜,等. 一种基于 H. 264/AVC 的压缩域运动对象分割方法. ZTu, 14(7):1327-1333.
- 冯强,于盛林,黄晓晴,等. 一种新颖的有核细胞边缘检测方法. ZTu, 14(10):2004-2009.
- 傅之成,李晓强,李福凤. 基于径向边缘检测和 Snake 模型的舌像分割. ZTu, 14(4):688-693.
- 高山,毕笃彦,魏娜. 基于交叉视觉皮质模型的彩色图像自动分割方法. ZTu, 14(8):1638-1642.
- 耿振伟,粟毅,郁文贤. 一种快速自适应的均值漂移聚类算法. XC, 25(1):153-156.
- 韩忠民,刘志,张兆杨,等. 视频分割中运动阴影消除的新方法. ZTu, 14(10):2110-2113.
- 郝聚涛,赵晶晶,陈庆奎,等. 基于多属性的空间连续模糊聚类算法的血管分割. ZTu, 14(8):1643-1649.
- 何宁,张朋. 基于边缘和区域信息相结合的变分水平集图像分割方法. DX, 37(10):2215-2219.
- 贺志国,周晓光,陆军,等. 一种用于 SAR 图像分割的几何活动轮廓模型. YX, 13(2):224-231.
- 侯彪,刘凤,焦李成,等. 基于自适应窗口固定及传播的多尺度纹理图像分割. DX, 37(7):1492-1500.
- 侯彪,徐婧,刘凤,等. 基于第二代 Bandelet 域隐马尔科夫树模型的图像分割. ZX, 35(5):498-504.
- 胡亮,董方,李柏林,等. 基于混沌微粒群和二维 Otsu 法的图像快速分割. CT, 18(1):29-34.
- 华继钊,王建国,杨静宇. 基于 PCA 的边缘检测方法. ZTu, 14(5):912-919.
- 黄华,程威. 实时图像素描风格化. JX, 32(10):2023-2029.
- 黄宇,付琨,吴一戎. 基于 Markov 随机场 K-Means 图像分割算法. DX, 37(12):2700-2704.
- 贾立好,邹建华. 基于新的阈值化方法的背景减法改进. ZX, 35(4):394-400.
- 江少锋,王文辉,冯前进,等. 基于改进 BET 算法的 MR 颅脑图像脑组织自动提取. ZTu, 14(10):2029-2034.
- 姜磊,张艳宁,孙瑾秋. 基于分块的非均匀 Hough 变换轨迹检测方法. ZTi, 14(1):60-66.
- 蒋志勇,陈晓玲,秦前清. 一种基于重构算子的分水岭变换算法. ZTu, 14(12):2527-2533.
- 康文雄,邓飞其. 基于方向场分布率的静脉图像分割方法. ZX, 35(12):1496-1502.
- 雷博,范九伦. 加权调和平均型最大熵图像阈值选取法. MR, 22(6):884-890.
- 李宏,李翔,胡可成. 基于时空融合的视频分割算法研究. XC, 25(1):72-76.
- 李居朋,陈后金,姚畅,等. 一种新的眼底图像视神经乳头分割方法. XC, 25(5):841-846.
- 李居朋,陈后金,张新媛. 基于先验知识随机游走模型的视网膜血管分割方法. ZS, 28(4):501-507.
- 梁光明,孙即祥,唐玉鹏,等. 基于 BP 神经网络评价的图像闭环控制迭代分割算法. XC, 25(7):1062-1065.
- 梁光明,唐朝京,刘东华,等. 基于分割评价的多层次自适应双阈值分割算法. DX, 37(4):750-752.
- 廖亮,林土胜. 基于核聚类算法和模糊 Markov 随机场模型的脑部 MR 图像的分割. ZTu, 14(9):1732-1738.
- 林芬华,吴从中,詹曙,等. 基于多尺度 MRF 的膝关节 MRI 图像快速分割. ZTu, 14(9):1739-1744.
- 林增刚,张艳宁,郭哲. 基于 Canny 算法与几何性质的三维人脸分割方法. ZTi, 14(2):192-196.
- 刘爱平,付琨,尤红建,等. 基于 MAR-MRF 的 SAR 图像分割方法. Dxx, 31(11):2557-2562.
- 刘川来,王慧敏,朱毅,等. 轮胎气泡边缘检测算法的研究. DC, 23(12):83-87.
- 刘复昌,朱近,杨亚芳,等. 基于图划分的形状统计主动轮廓模型心脏 MR 图像分割. MR, 22(2):275-281.
- 刘国才,王耀南,段宣初. 基于知识的多层 Mumford-Shah 向量值图像分割模型. ZX, 35(4):356-363.
- 刘少华,张茂军,智利丁. 基于像素块最大后验概率的视频对象分割方法. ZTu, 14(1):125-130.
- 刘锁兰,杨静宇. 基于模糊理论的 2 维隶属划分 Renyi 熵分割算法. ZTu, 14(2):323-327.
- 刘万军,姜庆玲,张闯. 基于 CNN 彩色图像边缘检测的车牌定位方法. ZX, 35(12):1503-1512.
- 刘小川,艾娇燕,唐纪良,等. 基于自适应模糊阈值的植物黑腐病叶片病斑的分割. ZTu, 14(7):1334-1340.
- 路红,费树岷,郑建勇,等. 基于背景重构和阴影消除的

运动目标分割. ZTu, 14(10):2023-2028.

- 马文萍, 焦李成, 尚荣华. 免疫克隆 SAR 图像分割算法. Dxx, 31(7):1749-1752.
- 孟庆涛, 龚声蓉, 刘纯平, 等. 一种基于图的颜色纹理区域分割方法. ZTu, 14(10):2092-2096.
- 穆亚东, 周秉锋. 基于颜色和纹理信息的快速前景提取方法. JX, 32(11):2252-2259.
- 聂生东, 李泽辉, 陈兆学, 等. 一种基于特征优化算法的磁共振脑组织分割方法. ZS, 28(3):345-350.
- 潘琤雯, 张兆扬, 石旭利, 等. 基于压缩域的视频关注对象提取. ZTu, 14(10):2145-2148.
- 潘振宽, 李华, 魏伟波, 等. 三维图像多相分割的变分水平集方法. JX, 32(12):2464-2474.
- 彭天强, 王炳锡, 李弼程. 一种基于 K-L 变换的突变镜头检测方法. XC, 25(1):109-112.
- 邵立康, 邹飞平, 迟权德, 等. 一种基于直方图的阈值分割算法. CT, 18(2):66-71.
- 沈晶, 杨学志. 一种新的基于纹理分水岭的纺织品缺陷检测方法. ZTu, 14(10):1997-2003.
- 沈晶晶, 金文标, 张智丰. 基于三次 Bézier 曲线模型的空间矩亚像素边缘定位算法. ZTu, 14(10):1985-1991.
- 宋寅卯, 刘国乐. 基于改进的 PCNN 多目标图像分割算法. SC, 24(4):536-542.
- 孙达, 刘家锋, 唐隆龙. 基于概率密度梯度的边缘检测. JX, 32(2):299-307.
- 孙申申, 李宏, 侯欣然, 等. 基于 EM 和 Mean-shift 的肺结节分割. ZTu, 14(10):2016-2022.
- 孙阳光, 蔡超, 周成平, 等. R-Snake: 一种基于边缘与区域信息的图像主动轮廓提取模型. DX, 37(8):1810-1815.
- 孙志海, 朱善安. 一种新的视频运动对象分割技术. DC, 23(3):76-80.
- 汤慧旋, 危辉. 基于轮廓线统计量的前景分割 Markov 随机场模型. ZX, 35(8):1033-1040.
- 王海波, 李雪耀. 基于 FCM 聚类算法的颅内出血 CT 图像分割. CT, 18(2):99-105.
- 王凯, 张定华, 张顺利, 等. 对基于 facet 模型的表面检测的加速技术研究. ZTu, 14(2):328-333.
- 王青竹, 王珂, 袁国良, 等. 多层次自适应空间系数高斯小波图像边缘检测. ZTu, 14(7):1347-1353.
- 王志衡, 吴福朝. 内积能量与边缘检测. JX, 32(11):2211-2220.
- 韦洪丽, 于新波, 赵文仓, 等. 基于多小波的医学图像阈值分割算法研究. CT, 18(1):8-15.
- 温铁祥, 杨丰. 一种结合 FCM 的 Mumford-Shah 混合模型 MR 图像分割方法. ZS, 28(3):393-397.
- 吴一全, 潘喆. 2 维最大类间平均离差阈值选取快速递推算法. ZTu, 14(3):471-476.
- 吴一全, 潘喆. 二维 Tsallis-Havrda-Charvat 熵阈值分割的快速递推算法. XC, 25(4):665-668.
- 吴一全, 潘喆, 吴文怡. 二维直方图区域斜分的最大熵阈值分割算法. MR, 22(1):162-168.
- 吴一全, 张金矿. 改进的 2 维 Otsu 法及混沌粒子群递推的阈值分割. ZTu, 14(9):1843-1849.
- 夏定元, 谢惠琳. 一种在 H. 264/AVC 压缩域中检测镜头边界的方法. ZTu, 14(12):2595-2598.
- 谢剑斌, 刘通, 李沛秦, 等. 一种基于优化区域 OTSU 的静脉图像分割算法. XC, 25(1):87-89.
- 徐剑, 丁晓青, 王生进, 等. 一种融合局部纹理和颜色信息的背景减除方法. ZX, 35(9):1145-1150.
- 徐新文, 李国辉, 朱为. 基于图像分割和对象跟踪的新闻视频镜头边界检测方法. ZTu, 14(8):1594-1600.
- 许向阳, 宋恩民, 金良海. Otsu 准则的阈值性质分析. DX, 37(12):2716-2719.
- 薛丽香, 邱保志. 基于变异系数的边界点检测算法. MR, 22(5):799-802.
- 杨勇, 徐春, 潘伟民. 梯度向量场通量能量驱动的主动轮廓模型. ZTu, 14(12):2534-2538.
- 于海滨, 刘敬彪, 刘圆圆. 基于对称点搜索的一维 RHT 在椭圆检测中的应用. Dxx, 31(8):1830-1834.
- 于海燕, 范九伦. 基于量子遗传参数优化的广义模糊阈值法. MR, 22(2):305-311.
- 俞璐, 吴乐南, 谢钧. 在 Split-Merge 框架下进行基于图的图像分割. SC, 24(3):300-303.
- 玉振明, 毛士艺. Bubble 小波用于图像边缘检测的一些讨论. ZTu, 14(10):1992-1996.
- 原达, 张彩明, 李晋江, 等. 基于 Mumford-Shah 模型的高精度 MR 图像轮廓提取算法. JX, 32(2):268-274.
- 岳峰, 左旺孟, 王宽全. 基于分解的灰度图像二维阈值选取算法. ZX, 35(7):1022-1027.
- 云廷进, 郭永彩, 高潮. 红外遮挡人体目标模板图像的 Mean Shift 分割算法. ZTu, 14(9):1867-1871.
- 詹曙, 林芬华, 郝世杰, 等. 基于 MRF 的膝关节半月板快速自动分割算法. DC, 23(12):55-60.
- 张菁, 沈兰荪, 高静静. 基于视觉注意模型和进化规划的感兴趣区检测方法. Dxx, 31(7):1646-1652.
- 张俊华, 汪源源. 基于椭圆形状约束的 Snake 模型分割 X 线图像椎弓根影. ZS, 28(4):496-500.
- 张宁, 冯前进, 秦安, 等. 小波多尺度动态方向梯度矢量流与心脏核磁共振图像分割. ZS, 28(2):183-187.
- 张石, 董建威, 余黎煌. 医学图像分割算法的评价方法. ZTu, 14(9):1872-1880.
- 张煜东, 吴乐南, 韦耿. 基于粒子群神经网络的细胞图像分割方法. DC, 23(7):56-62.
- 赵晖, 林成龙, 唐朝京. 基于峰值聚类趋势检验的含噪声

图像快速阈值分割方法. XC,25(11):1666-1674.

- 赵镭镭,彭天强,刘胜涛,等.一种稳健的新闻视频镜头检测方法. DX,37(2):325-328.
- 赵锟,张文俊,李蔚.应用递归最短生成树算法实现 H.264 压缩域运动对象分割方法. ZTu,14(10):2154-2158.
- 赵鹏飞,钱云涛,郑文斌.基于在线生物学文献的 MRI 图像获取. ZTi,14(2):216-221.
- 赵希梅,潘振宽,魏伟波,等.基于对称区域生长和边缘梯度的视神经纤维的分割. ZS,28(6):801-806.
- 周学成,罗锡文,严小龙,等.基于遗传算法的原位根系 CT 图像的模糊阈值分割. ZTu,14(4):681-687.
- 朱俊,王世晔,计科峰,等.一种适用于 SAR 图像的 2 维 Otsu 改进算法. ZTu,14(1):14-18.
- 卓问,曹治国,肖阳.基于二维 Arimoto 熵的阈值分割方法. MR,22(2):208-213.

B2:目标表达、描述、测量(4篇)

- 高月芳,韩国强,李桂清,等.图像分析中的矩技术. ZTu,14(8):1494-1503.
- 郭克华,刘传才,杨静宇.空间曲率不变量的构造及其应用. ZTu,14(5):925-930.
- 陆宗骥,朱煜.使用线段表实现线段编码与种子填充快速算法. ZTu,14(3):499-504.
- 徐小明,杨丹,张小洪,等.极坐标下基于差分统计的描述器算法. ZTu,14(5):961-966.

B3:目标特性分析(26篇)

- 艾廷华,帅赞,李精忠.基于形状相似性识别的空间查询. CX,38(4):356-362.
- 白静,贾建华,焦李成.基于空间映射复 Directionlet 变换的图像纹理分类. DxX,31(6):1332-1336.
- 陈功,周荷琴,严捷丰.采用 UKF 建模的实时背景提取和运动阴影检测. ZTu,14(5):931-937.
- 樊玉平,田裕鹏.一种基于皇后模板抽样的全局运动估计方法. ZTu,14(12):2497-2502.
- 胡东辉,王丽娜,江夏秋.盲环境下的数字图像可信性评估模型研究. JX,32(4):675-687.
- 李宗民,陆天波,桑鑫众,等.基于最小惯性轴及链码的图像形状描述方法. TX,30(4):1-5.
- 刘丽,匡纲要.图像纹理特征提取方法综述. ZTu,14(4):622-635.
- 裴继红,叶佩玲,谢维信.基于四元同质微分的彩色光流估计. DxX,31(11):2614-2619.
- 圣少友,李斌.一种快速映射 Isomap 算法. MR,22(6):908-912.
- 孙锐,高隼.组合 NMF 和 PCA 的图像哈希方法. DC,

23(5):52-57.

- 孙韶杰,吴琼,李国辉,等.基于自然图像统计特性的拼接图像检测算法. XC,25(8):1198-1202.
- 孙韶杰,吴琼,李国辉.基于广义高斯分布的图像盲检测算法. XC,25(9):1388-1392.
- 汪闽,张星月.基于模板分解与递归式滤波的遥感图像快速 Gabor 纹理特征提取. CX,38(6):488-493.
- 王俊文,刘光杰,戴跃伟,等.一种检测图像 Copy-Move 篡改鲁棒算法. MR,22(4):630-634.
- 王俊文,刘光杰,张湛,等.图像区域复制篡改快速鲁棒取证. ZX,35(12):1488-1495.
- 王岩松,金伟其,钟克洪.随机纹理表面缺陷检测方法与应用. ZTu,14(1):131-135.
- 肖冰,李洁,高新波.一种度量图像相似性和计算图编辑距离的新方法. DX,37(10):2205-2210.
- 徐东彬,黄磊,刘昌平.自适应核密度估计运动检测方法. ZX,35(4):379-385.
- 徐孟春,王相海.基于不完全小波树型结构的图像纹理特征研究. ZTu,14(7):1341-1346.
- 徐小红,杨学志,杨德美,等.ICA 系数的高阶统计特征在纹理分类中的应用. MR,22(3):499-504.
- 张永亮,卢焕章,刘晓春.基于同名像点位置偏差的特征点分类方法. XC,25(9):1383-1387.
- 赵峰,李兴华,彭岳峰,等.基于边缘羽化检测的虚假图像盲识别算法. XC,25(12):1922-1927.
- 赵凌君,高贵,匡纲要.基于变差函数纹理特征的高分辨率 SAR 图像建筑区提取. XC,25(9):1433-1442.
- 赵歆波,邹晓春,马钟.一种改进一维投影模型运动参数估计算法. ZTi,14(2):178-181.
- 郑雅羽,田翔,陈耀武.基于运动矢量对消和差分原理的快速全局运动估计. DxX,31(4):840-843.
- 周芳,王培珍,蒋建国.基于 WBCT 和 LBP 融合的焦炭显微图像识别方法. ZTu,14(10):2088-2091.

B4:目标检测和识别(96篇)

- 安国成,高建坡,吴镇扬.基于多观测模型的粒子滤波头部跟踪算法. ZTu,14(1):106-111.
- 白相志,周付根,解永春,等.新型 Top-hat 变换及其在红外小目标检测中的应用. SC,24(5):643-649.
- 陈海林,吴秀清,胡俊华,等.基于密度导向的树型结构核的图像目标分类. ZTu,14(12):2545-2551.
- 陈军,徐友春,赵明,等.基于随机 Hough 变换的道路边界识别算法研究. ZTu,14(5):905-911.
- 陈凯,李胜利,唐娉.超声图像胎儿颅骨椭圆自动检测方法. ZTu,14(12):2478-2482.
- 陈尚锋,肖山竹,卢焕章.一种低信噪比图像序列小目标实时检测算法. XC,25(4):601-606.

- 成功,赵巍,潘锦锋.基于小波分解和支持向量机的MSTAR SAR 目标分类识别研究. ZTu,14(2):317-322.
- 崔潇潇,王贵锦,林行刚.基于 Adaboost 权值更新以及 K-L 距离的特征选择算法. ZX,35(5):462-468.
- 崔潇潇,姚安邦,王贵锦,等.基于级联 Adaboost 的目标检测融合算法. ZX,35(4):417-424.
- 董秋雷,吴毅红,胡占义.基于视频的实时自动人体高度测量. ZX,35(2):137-144.
- 董蓉,李勃,陈启美.路况视频中 HSV 彩色不变量阴影检测法研究与改进. ZTu,14(12):2483-2488.
- 杜宇人,周爱军.一种基于视频图像的运动车辆跟踪方法. DC,23(3):45-48.
- 冯新岗,周途.数字图像中基于多尺度几何分析的圆检测算法. ZTu,14(5):957-960.
- 高贵. SAR 图像目标鉴别研究综述. XC,25(9):1421-1432.
- 高庆吉,李娟,马乐,等.机器人视觉定位中的路口场景识别方法研究. ZTu,14(12):2510-2516.
- 猴水平,焦李成,张向荣.基于免疫克隆的核匹配追踪集成图像识别算法. MR,22(1):79-85.
- 郭志刚,彭天强,李弼程.基于直方图和交叉熵的文本图像识别方法. SC,24(5):638-642.
- 胡闯,刘纯平,崔志明,等.聚类差分图像核密度估计前景目标检测. ZTu,14(10):2126-2131.
- 胡睿,孙进平,王文光.基于 α 稳定分布的 SAR 图像目标检测算法. ZTu,14(1):25-29.
- 胡正平,杨苏.基于关键特征点决策的广义 Hough 变换目标定位快速算法. XC,25(11):1748-1753.
- 宦若虹,杨汝良.基于小波域 NMF 特征提取的 SAR 图像目标识别方法. DxX,31(3):588-591.
- 贾慧星,章毓晋.基于动态权重裁剪的快速 Adaboost 训练算法. JX,32(2):336-341.
- 贾慧星,章毓晋.基于梯度方向直方图特征的多核跟踪. ZX,35(10):1283-1289.
- 贾静平,张飞舟,柴艳妹. Adaboost 目标跟踪算法. MR,22(3):475-480.
- 李波,曾致远,周建中.一种自适应车牌图像定位新方法. ZTu,14(10):1978-1984.
- 李红波,曾德龙,吴渝.基于 LBP 与码本的视频分层背景建模和目标检测. SC,24(4):502-507.
- 李宏友,汪同庆,叶俊勇.基于主动漂移矫正的运动目标跟踪算法. ZX,35(3):310-314.
- 李吉成,张志龙,鲁新平.一种基于谱图理论的阵列目标识别方法. XC,25(10):1527-1531.
- 李乐,章毓晋. SENSIC: 一个稳定高效的非负稀疏编码算法. ZX,35(10):1257-1271.
- 李乐,章毓晋.非负矩阵集分解. DxX,31(2):255-260.
- 李乐,章毓晋.基于双线性型的非负矩阵集分解. JX,32(8):1536-1549.
- 李培华.一种新颖的基于颜色信息的粒子滤波器跟踪算法. JX,32(12):2454-2463.
- 李秋华,杜鹃.基于非对称融合策略的双色红外弱目标检测方法. XC,25(5):713-719.
- 李晟,彭小奇,孙元,等.多干扰高温辐射体图像目标的分类识别方法. ZTu,14(6):1169-1172.
- 李毅,孙正兴,远博,等.一种改进的帧差和背景减相结合的检测运动检测方法. ZTu,14(6):1162-1168.
- 刘少华,张茂军,熊志辉,等.一种鲁棒高效的视频运动目标检测与跟踪算法. ZX,35(8):1055-1062.
- 刘少华,张茂军,周韬.基于广义高斯分布的视频运动目标快速检测算法. XC,25(8):1246-1251.
- 刘威,文学志,苏上海,等.一种夜晚道路环境下的后方车辆检测方法. ZTu,14(8):1621-1626.
- 柳庆武,胡晓惠,袁麟.深空可见光图像中弱小运动目标实时检测. DX,37(7):1614-1617.
- 罗嘉,韦志辉.基于几何活动轮廓模型的目标跟踪与快速运动估计. ZTu,14(7):1361-1368.
- 孟勃,朱明.采用 EM 算法对粒子滤波跟踪算法进行改进. ZTu,14(9):1745-1749.
- 潘吉彦,胡波,张建秋.抑制模板漂移的目标跟踪算法. DX,37(3):622-627.
- 任德华.自然复杂环境中基于颜色的多车牌定位研究. ZTu,14(12):2517-2526.
- 任明艺,李晓峰,李在铭.一种基于模糊分类的运动目标检测算法. XC,25(3):435-438.
- 邵大培,张艳宁,魏巍.基于 PCA 和图像匹配的飞机识别算法. ZTi,14(3):261-265.
- 沈志熙,杨欣,黄席彪.均值漂移算法中的目标模型更新方法研究. ZX,35(5):478-483.
- 盛大玮,何孝富,吕岳.基于最小二乘原理的牛眼虹膜分割方法. ZTu,14(10):2132-2136.
- 时公涛,匡纲要,桂林.基于邻域平均和正交分解的双通道 SAR 图像域慢动目标检测方法. DxX,31(2):353-357.
- 孙瑾秋,张艳宁,姜磊,等.基于变换域特征的星空背景弱小目标检测算法. ZTi,14(2):111-115.
- 孙显,王宏琦,杨志峰.基于形状统计模型的多类目标自动识别方法. DxX,31(11):2626-2631.
- 王彪,姜志国,赵丹培.基于多特征提取的遥感图像机场目标自动检测. ZTi,14(2):120-124.
- 王博,刘德连,张建奇.基于背景移除的时域目标检测. TX,30(7):67-72.
- 王栋,朱虹,马文庆.基于遗传算法搜索的运动目标跟踪. ZTu,14(8):1696-1699.

- 王欢,任明武,杨静宇.一种区域级运动目标检测方法. MR,22(5):689-696.
 - 王欢,王江涛,任明武,等.一种鲁棒的多特征融合目标跟踪新算法. ZTu,14(3):489-498.
 - 王继阳,文贡坚,李德仁,等.高分辨率人造目标影像中伪直线剔除方法. ZTu,14(6):1148-1155.
 - 王敏,张艳宁,孙瑾秋.一种遥感图像机场跑道的多尺度提取方法. ZTi,14(3):256-260.
 - 王培珍,高尚义,程健.一种基于局部二进制模式的带钢表面缺陷初级检测方法. ZTu,14(6):1156-1161.
 - 王清,姜志国,赵丹培,等.一种基于特征区域的空间有形目标识别方法. ZTi,14(2):125-128.
 - 王威,张鹏,高伟,等.基于局部层次化混合高斯模型的视频序列运动目标检测. XC,25(5):820-824.
 - 王义兴,黄凤岗,韩金玉,等.基于颜色搭配与纹理特征的车牌定位方法. ZTu,14(2):303-308.
 - 王勇,谭毅华,田金文.基于 Mean shift 的核窗宽自适应目标跟踪新算法. SC,24(6):762-766.
 - 王玉茹,刘家锋,刘国军,等.基于多区域联合粒子滤波的人体运动跟踪. ZX,35(11):1387-1393.
 - 王智灵,陈宗海,徐萧萧,等.基于蛙眼视觉特性的运动目标模糊化区域理解跟踪方法. ZX,35(8):1048-1054.
 - 王智灵,周露平,陈宗海.针对不同信息特征的鲁棒背景建模技术分析. MR,22(2):240-245.
 - 魏长安,姜守达.基于形态重构与跟踪的红外小目标检测算法. DX,37(4):850-853.
 - 温静,李洁,高新波.基于增量张量子空间学习的自适应目标跟踪. DX,37(7):1618-1623.
 - 吴家勇,王平江,陈吉红,等.基于梯度重心法的线结构光中心亚像素提取方法. ZTu,14(7):1354-1360.
 - 吴一全,罗子娟,吴文怡.基于 NSCT 的红外图像小目标检测技术. ZTu,14(3):477-481.
 - 武小红,武斌,周建江.模糊非相关判别转换及其应用. ZTu,14(9):1832-1836.
 - 郗润平,周涛,陆惠玲,等.变背景下红外目标的跟踪. ZTi,14(2):116-119.
 - 夏利民,张良春.基于自适应粒子滤波器的物体跟踪. ZTu,14(1):112-117.
 - 夏瑜,吴小俊.基于 MCD 和局部线性高斯模型的视频跟踪粒子滤波算法. ZTu,14(11):2223-2229.
 - 徐胜,彭启琮,管庆,等.一种基于支持向量机的三维物体识别方法. DC,23(4):.
 - 许海霞,王耀南,袁小芳,等.一种分层 Mean Shift 目标跟踪算法. ZX,35(4):401-409.
 - 许少秋.户外交通标志检测和形状识别. ZTu,14(4):707-711.
 - 杨必胜,栾学晨.城市道路网几何结构模式的自动识别方法. ZTu,14(7):1251-1255.
 - 杨德贵,朱孝开,肖顺平.基于圆投影和粒子滤波的红外目标跟踪. XC,25(11):1701-1705.
 - 杨猛,赵春晖,潘泉,等.基于小波分析的烟雾多特征融合和空间精度补偿森林火情检测算法. ZTu,14(4):694-700.
 - 杨武夷,梁伟,辛乐,等.子空间半监督 Fisher 判别分析. ZX,35(12):1513-1519.
 - 杨学志,沈晶,殷保忠.基于最小分类误差小波特征的纺织品缺陷分类方法研究. ZTu,14(2):309-316.
 - 姚红革,郝重阳,雷松则,等.序列图像中彩色目标跟踪的加权颜色分布方法. ZTu,14(1):99-105.
 - 姚红革,齐华,郝重阳.复杂情形下目标跟踪的自适应粒子滤波算法. Dxx,31(2):275-278.
 - 虞旦,韦巍.改进的随机圆检测算法. ZTu,14(8):1590-1593.
 - 虞旦,韦巍,张远辉.基于多特征空间的均值漂移算法. MR,22(4):666-672.
 - 袁红刚,孙卫东.基于多阈值分类与逆向求证的红外序列图像弱小目标检测方法. ZTu,14(8):1583-1589.
 - 张洁玉,陈强,白小晶,等.基于广义典型相关分析的仿射不变特征提取方法. Dxx,31(10):2465-2469.
 - 张军,高贵,黄英君,等.面向弹载 SAR 系统精确制导应用的 ROI 智能快速检测. Dxx,31(6):1310-1314.
 - 张军,田昊,黄英君.利用高斯混合模型的 SAR 图像目标 CFAR 检测新方法. ZTu,14(1):19-24.
 - 张文强,路红,陈义东,等.动态场景中的自适应背景建模研究. ZTu,14(12):2627-2630.
 - 张小洪,杨丹.使用梯度相关矩阵行列式的角点检测算法. ZTu,14(8):1601-1608.
 - 张震,任远,平西建.基于隐马尔可夫模型的自然图像和计算机图形的鉴别. SC,24(5):605-608.
 - 郑锦,李波.面向室外视频监控的背景重构算法. DX,37(8):1854-1859.
 - 郑茂,粘永健,郑林华.基于独立分量分析的高光谱图像目标检测算法. XC,25(12):1912-1916.
 - 周雪,胡卫明.融合颜色和增量形状先验的目标轮廓跟踪. ZX,35(11):1394-1402.
 - 朱孝开,黎湘.基于图像核函数的图像目标识别技术研究. XC,25(12):1894-1890.
- B5: 人体生物特征提取和验证 (107 篇)**
- 蔡灿辉,刘强.基于均值移动与贪婪算法的多人脸跟踪. ZTu,14(12):2611-2614.
 - 曹国,毛志红,梅园,等.快速的多级指纹混合匹配方法. MR,22(5):787-793.
 - 曹国,毛志红,梅园,等.一种快速的指纹参照点对选取

方法研究. ZTu, 14(3):401-407.

- 曹洁, 彭皓, 王宏, 等. 基于 PAD 理论的人脸情感识别. ZTu, 14(5):759-763.
- 陈北京, 王蔚, 宋加涛, 等. 一种融合二值边缘特征和灰度特征的人脸识别方法. DX, 37(6):1180-1184.
- 陈才扣, 黄璞. 基于分块独立分量分析的人脸识别. ZTu, 14(9):1837-1842.
- 陈朝钢, 吴春明, 叶秉威. 一种基于手机平台的运动人体检测算法的研究. DX, 37(4):771-775.
- 陈瑞, 林喜荣, 丁天怀. 基于 WBCT 的虹膜图像质量评价方法. ZX, 35(5):618-621.
- 陈实, 马天骏, 黄万红, 等. 用于步态识别的多层窗口图像矩. DxX, 31(1):116-119.
- 程正东, 樊祥, 章毓晋. 基于图像抽样重组的 2 维核鉴别分析. DxX, 31(12):2958-2962.
- 程正东, 章毓晋, 樊祥. Fisher 线性鉴别函数的一种推广形式. MR, 22(2):176-181.
- 戴景文, 刘丹, 苏剑波. 基于投影峰的眼睛快速定位方法. MR, 22(4):605-609.
- 戴振龙, 朱海一, 张申, 等. 基于 MPEG-4 的人脸表情图像变形研究. ZTu, 14(5):782-791.
- 邓颖娜, 朱虹, 刘薇. 基于贝叶斯模型的相机间人群目标识别. ZTu, 14(9):1750-1755.
- 丁晓宇, 邓娜, 马争鸣. 基于球面调和函数的 3-D 人脸识别方法. SC, 24(5):632-637.
- 杜吉祥, 翟传敏, 尚丽. 基于 ICA 系数稀疏表示的年龄自动估计. ZTu, 14(10):2102-2105.
- 范小九, 彭强, 夏旭. 一种改进的 AAM 人脸特征点快速定位方法. DxX, 31(6):1354-1358.
- 方亦凯, 程健, 汪孔桥, 等. 基于快速尺度空间特征检测的手势识别方法. ZTu, 14(2):214-220.
- 冯志全, 杨波, 李毅, 等. 以时间优化为目标的粒子滤波手势跟踪方法研究. DX, 37(9):1989-1995.
- 付晓峰, 韦巍. 基于高级局部二元模式直方图映射的表情识别. MR, 22(1):123-128.
- 甘俊英, 何思斌. 2 维异方差鉴别分析及其在人脸识别中的应用. ZTu, 14(10):2122-2125.
- 皋军, 王士同. 基于矩阵模式的最小类内散度支持向量机. DX, 37(5):1051-1057.
- 高涛, 何明一, 戴玉超, 等. 多级 LBP 直方图序列特征的人脸识别. ZTu, 14(2):202-207.
- 郭俊波, 张冬明, 张勇东, 等. 面向互联网视频的人体皮肤区域检测. TX, 30(4):6-10.
- 何东健, 张志刚, 何晓. 基于多分辨率下节点图像融合的人脸识别方法. ZTu, 14(8):1700-1704.
- 胡步发, 郝广涛. 基于黎曼张量的人脸图像多模态分解光照建模方法. ZTu, 14(2):221-226.
- 胡峰松, 张茂军, 邹北骥, 等. 基于 HMM 的单样本可变光照、姿态人脸识别. JX, 32(7):1424-1433.
- 胡昭华, 宋耀良. 基于 Autoencoder 网络的数据降维和重构. DxX, 31(5):1189-1192.
- 蒋建国, 常虹, 詹曙. 基于相关型图像传感器的 3D AAMs 人脸特征自动定位. DC, 23(5):74-78.
- 金一, 阮秋琦. 基于核的正交局部保持投影的人脸识别. DxX, 31(2):283-287.
- 孔万增, 黎云汉, 朱善安. 一种基于姿态校正的人脸检测方法. DC, 23(1):64-69.
- 雷刚, 周激流, 吴朋, 等. 基于虚拟信息的单样本分块人脸识别方法. SC, 24(4):443-448.
- 李金秀, 高新波, 杨越, 等. 一种基于 E-HMM 的选择性集成人脸识别算法. DxX, 31(2):288-292.
- 李俊华, 彭力. 人脸表情识别中阈值自适应调整机制. SC, 24(4):531-535.
- 李晓东, 费树岷, 张涛. 基于局部奇异值分解和 D-S 理论的人脸识别方法. SC, 24(5):621-625.
- 李勇周, 罗大庸, 刘少强. 空间光滑且完整的子空间学习算法. MR, 22(3):400-405.
- 李勇周, 罗大庸, 刘少强. 正交判别的线性局部切空间排列的人脸识别. ZTu, 14(11):2311-2315.
- 李禹, 计科峰, 粟毅, 等. SAR 图像机动目标的多尺度间隙度特征及其鉴别处理算法. ZTu, 14(1):136-141.
- 李子荣, 杜明辉. 基于局部边界鉴别分析的人脸识别. DxX, 31(3):527-531.
- 林宇生, 郑宇杰, 杨静宇. 一种基于 Schur 分解的正交鉴别局部保持投影方法. ZTu, 14(4):701-706.
- 林玉娥, 顾国昌, 刘海波. 2 维不相关鉴别矢量集算法. ZTu, 14(5):944-949.
- 林玉娥, 顾国昌, 刘海波, 等. 核不相关空间算法及其在人脸识别中的应用. DxX, 31(8):1812-1815.
- 凌志刚, 梁彦, 潘泉, 等. 基于张量子空间学习的人行为识别方法. ZTu, 14(3):394-400.
- 刘小明, 尹建伟, 冯志林, 等. 正交化近邻关系保持的降维及分类算法. ZTu, 14(7):1319-1326.
- 刘延通, 张艳宁, 郭哲. 基于二次误差测度的特征保持简化算法. ZTi, 14(1):73-79.
- 刘颖, 裴明涛, 贾云得. 侧面轮廓与人耳特征相结合的人耳检测与识别. ZTu, 14(2):196-201.
- 马勤勇, 聂栋栋, 王申康. 基于主运动轮廓线的步态表示与识别. ZX, 35(5):519-525.
- 梅园, 曹国, 孙怀江, 等. 一种新的指纹奇异点快速检测方法. JX, 32(5):1037-1045.
- 钱堃, 马旭东, 戴先中, 等. 基于最优 DAGSVM 的服务机器人交互手势识别. ZTu, 14(1):118-124.
- 任春晓, 尹义龙, 马军, 等. 一种指纹纹线距离估计算法.

- MR,22(4):554-559.
- 宋尚玲,梅良模,孙丰荣. 鼻部毛囊的生物特征识别. MR,22(6):919-923.
 - 王超,王士同. 有局部保持的最大间距准则特征提取方法. MR,22(6):898-902.
 - 王红法,王曙光,樊玲玲,等. 一种用于指纹方向场估计的网格插值模型. ZTu,14(3):422-429.
 - 王建国,杨万扣,杨静宇. 基于保持投影的最大散度差的特征抽取方法. MR,22(4):610-613.
 - 王进军,王汇源,吴晓娟. 基于环形对称 Gabor 变换和 PCA 加权的人脸识别算法. MR,22(4):635-638.
 - 王科俊,刘丽丽,贲晔焯,等. 基于步态能量图像和 2 维主成分分析的步态识别方法. ZTu,14(12):2503-2509.
 - 王科俊,贲晔焯,刘丽丽,等. 基于子模式的完全二维主成份分析的步态识别算法. MR,22(6):854-861.
 - 王磊,邹北骥,彭小宁. 针对表情动作单元跟踪的隧道隐变量法. ZX,35(2):198-201.
 - 王丽婷,丁晓青,方驰. 一种鲁棒的全自动人脸特征点定位方法. ZX,35(1):9-16.
 - 王骐,陈熙霖,王春立,等. 一种可处理数据缺失的视角无关手语识别方法. JX,32(5):953-961.
 - 王晓明,王士同. 广义的监督局部保留投影算法. DxX,31(8):1840-1845.
 - 魏莱,王守觉,徐菲菲,等. 近邻边界 Fisher 判别分析. DxX,31(3):509-513.
 - 魏冉,姜莉,陶霖密. 融合人脸多特征信息的表情识别系统. ZTu,14(5):792-800.
 - 文颖,施鹏飞. 一种基于共同向量结合 2DPCA 的人脸识别方法. ZX,35(2):202-205.
 - 毋立芳,王涓涓,王颖. 一种基于反射特性的人脸三维重建方法. XC,25(6):994-998.
 - 武汇岳,张凤军,刘玉进,等. 基于视觉的手势界面关键技术研究. JX,32(10):2030-2041.
 - 谢朝霞,穆志纯,谢建军. 用于多姿态人耳识别的局部线性嵌入及其改进算法. MR,22(3):427-432.
 - 谢竞,阮秋琦. 利用引入瞳孔位置的 Gabor 小波网络进行人脸识别. XC,25(2):223-227.
 - 徐翠,郑颖,汪增福. 一种基于图像底层特征的隐马尔可夫人体检测方法. MR,22(5):743-749.
 - 徐雪松,宋东明,张谓,等. 基于核函数的稳健线性嵌入方法. ZTu,14(6):1141-1147.
 - 许高凤,丁士圻. 基于小波重构脸的人脸识别. SC,24(5):626-631.
 - 薛雨丽,毛峡,郭叶,等. 人机交互中的人脸表情识别研究进展. ZTu,14(5):764-772.
 - 薛召军,万柏坤,刘晓辉,等. 基于多参数模型结合的步态特征提取新方法. ZS,28(1):22-26.
 - 严慧,金忠,杨静宇. 非负二维主成份分析及在人脸识别中的应用. MR,22(6):809-814.
 - 严严,章毓晋. 基于视频的人脸识别研究进展. JX,32(5):878-886.
 - 杨万扣,吉善兵,任明武,等. 基于增强的 2 维主成分分析的特征提取方法及其在人脸识别中的应用. ZTu,14(2):227-232.
 - 杨万扣,王建国,任明武,等. 模糊逆 Fisher 鉴别分析及其在人脸识别中的应用. ZTu,14(1):88-93.
 - 杨晓超,周越,署光,等. 基于 Gabor 相位谱和流型学习的步态识别方法. DX,37(4):753-757.
 - 叶波,文玉梅,何卫华. 多分类器信息融合的步态识别算法. ZTu,14(8):1627-1637.
 - 尹洪涛,付平,沙学军. 基于 DCT 和线性判别分析的人脸识别. DX,37(10):2211-2214.
 - 应自炉,张有为,李景文. 融合人脸局部区域的表情识别. XC,25(6):963-966.
 - 余映,王斌,张立明. 一种面向数据学习的快速 PCA 算法. MR,22(4):567-573.
 - 苑玮琦,张雷,柯丽. 基于多子区域联合的高适应性虹膜识别算法. DX,37(5):981-986.
 - 云廷进,郭永彩,高潮. 基于粒子 Mean Shift 迁移的红外人体目标跟踪算法. JX,32(6):1222-1228.
 - 曾昭雄,黄磊,刘昌平. RSOTP 子空间学习方法. ZTu,14(12):2539-2544.
 - 詹永照,陈亚必. 具有噪声过滤功能的协同训练半监督主动学习算法. MR,22(5):750-755.
 - 张二虎,赵永伟. 利用动态部位变化的步态识别. ZTu,14(9):1756-1763.
 - 张国云,章兢. 基于 Gabor 小波的多尺度 PCA 支持向量机人脸识别方法. SC,24(4):437-442.
 - 张涛,蔡灿辉. 基于多特征 Mean Shift 的人脸跟踪算法. DxX,31(8):1816-1820.
 - 张熠,张桂林. 基于总变分模型的光照不变人脸识别算法. ZTu,14(2):208-213.
 - 张迎辉,林学闇. 情感计算中的实验设计和情感度量方法研究. ZTu,14(2):292-302.
 - 张宇,尹义龙,骆功庆. 基于支持向量机的指纹图像质量分类方法. MR,22(1):129-135.
 - 赵武锋,沈海斌,严晓浪. 在小样本条件下直接 LDA 的理论分析. DxX,31(11):2632-2636.
 - 赵昕玥,张树有,陆捷. 一种可导向指纹匹配方法的分类因子与实现技术. ZTu,14(3):408-416.
 - 赵永伟,张二虎,鲁继文,等. 多特征和多视角信息融合的步态识别. ZTu,14(3):388-393.
 - 支瑞聪,阮秋琦. 基于多尺度分析矩特征的人脸表情识别. XC,25(5):692-696.

- 支瑞聪,阮秋琦.基于线性判别局部保留映射的人脸表情识别. XC,25(2):233-237.
- 周晓彦,郑文明,赵力,等.基于偏最小二乘回归的人脸身份和表情同步识别方法. ZTu,14(5):801-808.
- 周晓彦,郑文明,邹采荣,等.基于特征融合和模糊核判别分析的面部表情识别方法. ZTu,14(8):1615-1620.
- 周治平,李雨淞,吴会军.一种改进的 Log-Gabor 滤波和 SVM 的虹膜识别方法. ZTu,14(12):2603-2606.
- 朱凤梅,张道强.张量图像上的半监督降维算法. MR,22(4):574-580.
- 朱明早,罗大庸.2DFLD 与 LPP 相结合的人脸和表情识别方法. MR,22(1):60-63.
- 朱明早,罗大庸.模块 2DPCA 的缺陷与改进. ZTu,14(1):94-98.
- 朱明早,罗大庸,易励群.一种序列的加权 kNN 分类方法. DX,37(11):2584-2588.
- 竺乐庆,张三元,幸锐.基于指节纹的个人身份自动识别. ZX,35(7):875-881.
- 竺乐庆,张三元,张引,等.基于概率化模板和模糊逻辑的掌纹识别算法. MR,22(3):468-474.
- 祖克举,刘富强,李志鹏.基于多目标检测与跟踪的密集客流检测. ZTu,14(10):2106-2109.
- 冯其强,黄桂平,李广云.基于多片前方交会的工业摄影测量自动匹配. ZTu,14(6):1194-1198.
- 高剑,张彩明,孟祥旭,等.一种基于 DDTW 的三维碎片自动拼接方法. JX,32(2):342-349.
- 龚咏喜,田原,谢玉波,等.基于最小路由代价树的大规模显微图像拼接方法. ZTu,14(6):1178-1187.
- 胡轶,胡青阳,於文雪.基于模板和小图片的拼图方法探究. ZTu,14(11):2316-2321.
- 黄华,颜恺,齐春.基于相似度加权的自适应 HD 算法. ZX,35(7):882-887.
- 黄以君,刘伟军.基于 LQS 的基本矩阵计算方法. ZTu,14(10):2069-2073.
- 金海燕,焦李成.基于 CP 和多小波 HMT 模型的克隆选择遥感图像融合. JX,32(7):1434-1442.
- 雷琳,李智勇,粟毅.利用多特征融合匹配实现遥感图像多目标关联. XC,25(3):454-459.
- 李欢,汤晓安,孙茂印.基于工作流的遥感影像自动分块与配准方法. XC,25(12):1884-1889.
- 李晖,彭玉华,尹勇.基于平移旋转不变的塔式分解和模糊梯度场的医学图像配准. DX,37(4):854-859.
- 李俊峰,李其申,张永,等.非下采样方向滤波器组在遥感图像融合中的应用. ZTu,14(10):2047-2053.
- 李孟君,李智勇,陈天泽.基于隐含相似性的光学和 SAR 图像配准方法. ZTu,14(11):2322-2327.
- 李伟,沈振康.基于 KPCA-SIFT 描述符的图像配准. XC,25(4):644-647.
- 李炜明,吴毅红,胡占义.视角和光照显著变化时的变化检测方法研究. ZX,35(5):449-461.
- 李旭,何明一,卫保国.一种超高分辨率遥感图像融合新算法. DxX,31(12):2886-2891.
- 凌静,徐立中,石爱业,等.一种基于 Choquet 模糊积分小波系数选择的遥感图像融合方法. YX,13(2):263-268.
- 刘斌,彭嘉雄.基于四通道不可分加性小波的多光谱图像融合. JX,32(2):350-356.
- 刘芳,王智勇,季统凯.多进制小波的遥感影像融合对比分析. ZTu,14(8):1480-1487.
- 刘晴,郭希娟,许慎洋.基于互信息的 N 维多模医学图像配准. ZTu,14(10):2061-2068.
- 刘云鹏,李广伟,史泽林.基于黎曼流形的图像投影配准算法. ZX,35(11):1378-1386.
- 卢振泰,冯衍秋,冯前进,等.基于等效子午面与互信息量的医学图像配准. JX,32(8):1611-1617.
- 吕金建,文贡坚,王继阳,等.基于空间关系一致性的图像自动配准方法. SC,24(1):14-18.
- 吕金建,文贡坚,王继阳,等.一种改进的基于不变描述子的图像自动配准方法. XC,25(2):216-222.

C: 图像理解 (共 139 篇)

C1: 图像匹配和融合等 (83 篇)

- 白蕊,杨万海,张艳妮.基于 Contourlet 变换的遥感图像融合. ZTu,14(6):1173-1177.
- 才溪,赵巍. Contourlet 变换低通滤波器对图像融合算法影响的讨论. ZX,35(3):258-266.
- 常霞,焦李成,贾建华.基于非下采样 Contourlet 的多传感器图像自适应融合. JX,32(11):2229-2238.
- 陈大可,王珂.基于 NSCT 的遥感图像模糊推理融合算法. ZTu,14(12):2552-2558.
- 陈辉,龙爱群,彭玉华.由未标定手持相机拍摄的图片构造全景图. JX,32(2):328-335.
- 陈荣元,张飞艳,张斌,等.基于数据同化和粒子群优化算法的遥感影像融合. DxX,31(10):2509-2513.
- 陈旺,徐玮,熊志辉,等.折反射全向图像柱面展开校正算法研究. ZTu,14(12):2559-2565.
- 程亮,龚健雅,李满春,等.集成多视航空影像与 LiDAR 数据重建 3 维建筑物模型. CX,38(6):494-501.
- 邓熠,李智勇,粟毅.仿射不变特征提取算法在遥感影像配准中的应用. ZTu,14(4):615-621.
- 董方,胥宏,胡亮,等.基于椭圆拟合和 Hausdorff 距离的图像匹配算法. CT,18(1):41-46.
- 窦闻,陈云浩,何辉明.光学遥感影像像素级融合的理论框架. CX,38(2):131-137.

- 苗立刚. 基于手持相机的文档图像拼接算法. ZTu, 14(8):1656-1662.
- 荣成城,周健,曹国刚,等. 基于粘滞流体 B 样条模型快速非刚体配准方法. ZTu, 14(4):712-717.
- 邵巍,朱圣英,陈灵芝. 一种快速多尺度特征点匹配算法. ZTu, 14(12):2572-2576.
- 邵泽明,朱剑英. 自适应分层粒子群稠密视差图估计. ZTu, 14(4):725-730.
- 石晓进,张云华. 基于 Fourier-Mellin 变换和相干系数法的重复轨道干涉 SAR 图像配准新方法. DxX, 31(4):803-807.
- 时海亮,方敏,梁锦锦. 基于非亚采样 Contourlet 和 SWT 的多光谱图像和全色图像的融合算法. DxX, 31(1):124-128.
- 苏娟,林行刚,刘代志. 一种基于结构特征边缘的多传感器图像配准方法. ZX, 35(3):251-257.
- 隋连升,王钰,王磊. 基于视差梯度的图像拼接算法研究. ZTi, 14(2):156-161.
- 田文,王宏远,徐帆,等. RANSAC 算法的自适应 Tc, d 预检验. ZTu, 14(5):973-977.
- 王明静,宋玲珍. 基于图像配准的复杂背景下自动目标识别算法. ZTi, 14(3):266-270.
- 王爽,侯彪,付海军,等. 基于方向对比度和局部方差的双树复小波图像融合算法. ZTi, 14(2):133-137.
- 王素玉,卓力,沈兰荪,等. 一种用于动态视频超分辨率的多尺度最小二乘仿射块匹配图像配准方法. DxX, 31(3):542-545.
- 王旭光,王志衡,吴福朝. Harris 相关与特征匹配. MR, 22(4):505-513.
- 王亚杰,徐心和. 基于彩色图像融合新算法的隐藏武器检测研究. ZTu, 14(3):520-524.
- 王勇,何晓川,刘清华,等. 一种感兴趣区域寻优搜索的全自动图像拼接算法. DxX, 31(2):261-264.
- 王玉斐,王汝传,曾鸣,等. 多媒体传感器网络中基于颜色空间的图像融合方案. DX, 37(8):1659-1663.
- 王贞俭. 基于 Contourlet 能量标准差积的极化 SAR 图像融合. ZTu, 14(3):514-519.
- 王志衡,吴福朝. 均值-标准差描述子与直线匹配. MR, 22(1):32-39.
- 王子路,李智勇,粟毅. 一种基于非线性扩散方程和 Hausdorff 测度理论的 SAR 图像与光学图像配准方法. DxX, 31(2):386-390.
- 卫薇,王忠武,汪承义. 一种遥感图像融合质量评价方法. ZTu, 14(8):1488-1493.
- 魏振忠,郝曼,张广军. 一种山体图像边缘快速立体匹配方法. DxX, 31(6):1337-1340.
- 魏志强,黄磊,纪筱鹏. 基于点特征的序列图像匹配方法研究. ZTu, 14(3):525-536.
- 吴谓,周军. 一种基于非标定摄像机仿射变换的块匹配算法. ZTu, 14(11):2378-2382.
- 熊九龙,林存宝. 基于实际物理距离的基本矩阵估计. DC, 23(11):19-24.
- 徐佳,关泽群,何秀凤,等. 基于传感器光谱特性的全色与多光谱图像融合. YX, 13(1):97-102.
- 徐婉莹,黄新生. 一种适应于旋转、平移和大尺度变换的图像配准方法研究. XC, 25(10):1598-1604.
- 许振辉,张峰,孙凤梅,等. 基于邻域传递的鱼眼图像的准稠密匹配. ZX, 35(9):1159-1167.
- 薛坚,于盛林,王红萍. 一种基于提升小波变换和 IHS 变换的图像融合方法. ZTu, 14(2):340-345.
- 严恺,周军. 一种用于立体图像匹配的改进置信传播算法. ZTu, 14(11):2383-2386.
- 杨丹,游磊,张小洪. 参数优化模型的正交逼近算法. DxX, 31(11):2610-2613.
- 杨景辉,张继贤,李海涛. 遥感数据像素级融合统一模型及实现技术. ZTu, 14(4):604-614.
- 于海滨,刘敬彪,刘济林. 用于行人头部特征提取的目标区域匹配方法. ZTu, 14(3):482-488.
- 袁修孝,明洋. 一种综合利用像方和物方信息的多影像匹配方法. CX, 38(3):216-222.
- 岳晋,杨汝良,宦若虹. 基于双密度双树复数小波变换的图像融合研究. DxX, 31(1):129-133.
- 云挺,肖亮,吴慧中. 基于偏微分方程的稠密视差图获取方法. ZTu, 14(4):718-724.
- 张昌芳,杨宏文,胡卫东,等. 基于 Delaunay 三角化和谱方法的非精确点模式匹配算法. ZTu, 14(7):1386-1391.
- 张辉,张丽艳,陈鉴富,等. 基于自适应迭代松弛的立体点对匹配鲁棒算法. ZTu, 14(7):1378-1385.
- 张剑华,陈胜勇,刘盛,等. ASM 中基于不变矩图形畸变主动检测与修正. ZTu, 14(9):1886-1894.
- 张洁玉,白小晶,徐丽燕,等. 基于空间分布描述符的 SIFT 误匹配校正方法. ZTu, 14(7):1369-1377.
- 张洁玉,陈强,刘复昌,等. 一种改进的 M-Estimators 基础矩阵鲁棒估计法. ZTu, 14(8):1663-1668.
- 张良,王海丽,吴仁彪. 基于改进局部不变特征的兴趣点匹配. DxX, 31(11):2620-2625.
- 张翼,曾庆业,唐娉. 获取均匀控制点的遥感影像自动空间匹配方法. ZTu, 14(8):1475-1479.
- 张媛,高冠东,贾克斌. 运用特征点匹配的柱面全景图像快速拼接算法. ZTu, 14(6):1188-1193.
- 张智雄,周平,杨烜. 图像扭曲变换中高斯基函数的最优参数分析. ZTu, 14(2):334-339.
- 赵增军,李宝生. 基于模型的医学图像形变配准在图像引导放疗中的应用研究进展. ZTu, 14(8):1504-1509.

- 郑世友,周晔. 无有效重叠区域的 SAR 图像拼接方法. ZTu,14(10):2054-2060.
- 郑志刚,汪增福. 基于区域间协同优化的立体匹配算法. ZX,35(5):469-477.
- 周春燕,周军,严恺. 一种基于彩色分割的改进 DSM 视差匹配算法. ZTu,14(11):2369-2372.
- 周付根,段卓镭. Demons 算法在四维 CT 图像配准中的应用. CT,18(1):69-75.

C2: 场景恢复 (11 篇)

- 柴登峰,彭群生. 利用航空影像生成 DEM 的多层次整体优化方法. ZTu,14(7):1458-1462.
- 戴培山,王博亮,鞠颖. 视网膜血管图像分割及眼底血管三维重建. ZX,35(9):1168-1176.
- 郭大波,卢朝阳,焦卫东,等. 遮挡检测/立体匹配中的分段动态规划法. DX,37(7):1516-1521.
- 李世飞,王平,沈振康. 迭代最近点算法研究进展. XC,25(10):1582-1588.
- 刘侍刚,彭亚丽,韩崇昭,等. 基于秩 1 的射影重建方法. DX,37(1):225-228.
- 刘晓平,徐伟,余焯. 一种基于双幅图像的物体 3 维重建. ZTu,14(7):1453-1457.
- 王学梅,孙即祥. 一种改进的从明暗恢复形状的方法. XC,25(6):905-910.
- 王学梅,徐安凤,孙即祥,等. 基于表面局部最高点估计的明暗恢复形状算法. ZTu,14(5):978-983.
- 徐俊,王利生. 3 维图像中边界曲面可被等值面逼近的判定方法. ZTu,14(3):505-513.
- 郑碧娜,江泽涛,吴敏. 一种基于立体像对稠密匹配的三维重建方法. ZTi,14(2):187-191.
- 周佳立,张树有,杨国平. 基于双目被动立体视觉的三维人脸重构与识别. ZX,35(2):123-131.

C3: 图像感知和解释 (4 篇)

- 高贵. SAR 图像统计建模研究综述. XC,25(8):1270-1278.
- 黄天羽,石崇德,李凤霞,等. 一种基于判别随机场模型的联机行为识别方法. JX,32(2):275-281.
- 孙彬,桑农,李峥,等. 二阶运动现象及其分析研究. MR,22(3):344-348.
- 谢昭,高隽. 基于高斯统计模型的场景分类及约束机制新方法. DX,37(4):733-738.

C4: 基于内容的图像和视频检索 (22 篇)

- 卜庆凯,胡爱群. 一种新的视频兴奋内容建模和视频摘要提取方法. XC,25(8):1319-1324.
- 卜庆凯,胡爱群,刘威. 基于音/视频特征的足球视频体

育事件交互式检索方法. XC,25(7):1070-1075.

- 陈时,郭茂祖,刘扬,等. 基于直推式支持向量机的图像检索. MR,22(5):774-779.
- 陈星星,张荣. 基于多尺度相位特征的图像检索方法. DxX,31(5):1193-1196.
- 崔艳云,程文刚. 一种基于粗集理论的视频流派分类方法. XC,25(12):1977-1981.
- 邓丽,金立左,费树眠. 视频检索中相关反馈算法研究. XC,25(3):408-411.
- 蒋鹏,秦小麟. 基于视觉注意模型的自适应视频关键帧提取. ZTu,14(8):1650-1655.
- 焦隽,姜远,黎铭,等. 一种在无标注图像库中进行的基于关键词的检索方法. MR,22(3):422-426.
- 李海芳,焦丽鹏,贺静. 多特征综合的图像模糊情感注释方法研究. ZTu,14(3):531-536.
- 李士进,郭跃飞,李昊,等. 新闻视频中广告片段精确定位方法研究. ZTu,14(7):1432-1439.
- 李悦,覃团发. MPEG-7 区域综合特征匹配的图像检索算法. ZTu,14(9):1881-1885.
- 潘翔,张三元,叶修梓. 三维模型语义检索研究进展. JX,32(6):1069-1079.
- 潘雪峰,李锦涛,张勇东,等. 基于视觉感知的时空联合视频拷贝检测方法. JX,32(1):107-114.
- 潘岩,周钧,董道国,等. 适用于 IPTV 的视频拷贝检测系统. ZTu,14(11):2421-2424.
- 沈晔,夏顺仁,李敏丹. 基于内容的医学图像检索中的相关反馈技术. ZS,28(1):128-136.
- 苏小红,丁进,马培军. 用兴趣点凸包和 SVM 加权反馈实现图像检索. JX,32(11):2221-2228.
- 王斌,俞能海. 一种针对大规模网络图像的自动标注改善算法. DxX,31(2):270-274.
- 徐少平,张华,江顺亮,等. 基于直觉模糊集的图像相似性度量. MR,22(1):156-161.
- 徐小红,杨学志,杨德美,等. ICA 系数的高阶统计特征在纹理分类中的应用. MR,22(3):406-410.
- 许宏丽,须德,林恩爱. 一种基于子空间聚类的图像分层索引方法. ZTu,14(1):142-147.
- 张勇东,张冬明,郭俊波,等. 压缩域快速视频拷贝检测算法. TX,30(3):135-140.
- 钟洪,夏利民. 基于互信息约束聚类的图像语义标注. ZTu,14(6):1199-1205.

C5: 时空技术 (19 篇)

- 陈功,杨奎元,周荷琴,等. 鲁棒的实时多车辆检测与跟踪系统设计. XC,25(4):607-612.
- 陈晓钢,陆玲,周书民,等. 一种新的人脸姿态估计算法. SC,24(4):543-548.

- 程有龙,李斌,张文聪,等.融合先验知识的自适应行人跟踪算法. MR,22(5):704-708.
- 杜友田,陈峰,徐文立.基于多层动态贝叶斯网络的人的行为多尺度分析及识别方法. ZX,35(3):225-232.
- 谷军霞,丁晓青,王生进.行为分析算法综述. ZTu,14(3):377-387.
- 黄莹,王志良,涂序彦,等.一种可适应自然头动的视线追踪系统的研制及应用. DX,37(4):764-770.
- 焦波,李国辉,涂丹,等.一种基于自适应粒子滤波的目标跟踪方法. XC,25(7):1066-1069.
- 黎洪松,李达.人体运动分析研究的若干新进展. MR,22(1):70-78.
- 李志华,陈耀武.基于多摄像头的目标连续跟踪. DC,23(2):46-51.
- 刘烨,陶霖密,傅小兰.基于情绪图片的PAD情感状态模型分析. ZTu,14(5):753-758.
- 钱惠敏,茅耀斌,王执铨,等.视频监控中的行为序列分割与识别. ZTu,14(11):2416-2420.
- 钱堃,马旭东,戴先中.基于抽象隐马尔可夫模型的运动行为识别方法. MR,22(3):433-439.
- 汪力,叶桦,夏良正.基于半马尔可夫和 Large-margin 的动作识别. ZTu,14(11):2304-2310.
- 汪力,叶桦,夏良正.一种结合形状序列和 DTW 的动作识别方法. SC,24(5):615-620.
- 王永忠,梁彦,潘泉,等.基于自适应混合高斯模型的时空背景建模. ZX,35(4):371-378.
- 徐光祐,曹媛媛.动作识别与行为理解综述. ZTu,14(2):189-195.
- 徐哈宁,肖慧,侯宏录.体育视频序列中基于 IMM 的运动目标跟踪算法. ZTu,14(5):920-924.
- 张军,刘志镜.可变场所的异常行为识别方法. ZTu,14(10):2097-2101.
- 朱秋煜,唐利,郁铭,等.一种基于立体视觉的公交车客流计数方法. ZTu,14(11):2391-2395.
- 陈立栋,张茂军,王炜,等.异构双核的高分辨率折反射全景高速处理系统. DxX,31(4):822-826.
- 陈远,徐之海,冯华君.一种新型两层垂直层叠结构的 CMOS 彩色传感器. DX,37(5):970-974.
- 董岚,李丽,张宇昂.基于 AMBA-AHB 总线多核平台的 JPEG 解码. DC,23(2):52-57.
- 郭杰,李云松,吴成柯,等. JPEG2000 中 DWT-EBCOT 联合的高效低存储 VLSI 结构. DxX,31(3):731-735.
- 蒋建国,卢晓红,齐美彬,等.基于 H. 264 的子带 DCT 快速算法. DxX,31(2):391-395.
- 李文杰,李刚,曹斌,等.一种 H. 264 帧内预测模式的快速选择算法. ZTu,14(6):1114-1118.
- 李琰,姜来,李蓁,等. CMOS 有源像素传感器列级低功耗自清零 ADC 的设计. SC,24(3):357-361.
- 马涛,陈杰.一种适合 VLSI 实现的 H. 264 整像素运动估计算法. SC,24(3):309-312.
- 齐华,李勇,郝重阳.一种采用小波变换的实时视频压缩系统. ZTu,14(8):1578-1582.
- 宋立锋,戴青云.分数像素精度运动估计的 DSP 优化方法. TX,30(6):114-119.
- 孙书为,陈书明.高效的 H. 264 并行编码算法. DX,37(2):357-361.
- 谭会生.多级二维整数小波变换的 FPGA 实现研究. DC,23(7):29-34.
- 王杰,李洪兴,王加银,等.一种图像快速线性插值的实现方案与分析. DX,37(7):1481-1486.
- 王卫卫,冯象初.图像处理中扩散方程的快速数值解法. DxX,31(7):1736-1740.
- 王贤刚,叶青,郭志平,等.两种典型三维 CT 系统及应用. CT,18(4):26-33.
- 王中元,胡瑞敏,朱荣,等. DSP 上视频编码器的计算效率优化技术研究. XC,25(1):147-152.
- 吴晓军,白世军,卢文涛.基于 H. 264 视频编码的运动估计算法优化. DX,37(11):2541-2550.
- 许昌满,李国平,王国中. AVS 编码器 Slice 并行处理算法研究与实现. ZTu,14(6):1108-1113.
- 叶可人,姜志国,孟钢.一种基于线阵 CCD 成像的显微虚拟切片扫描系统. ZTu,14(4):413-418.
- 于俊清,李江,魏海涛.基于同构多核处理器的 H. 264 多粒度并行编码器. JX,32(6):1100-1109.
- 余宁梅,王冬芳,廖裕民,等. PDVQ 图像压缩芯片的设计与实现. TX,30(7):91-98.
- 张淑芳,李华.基于 H. 264 的多参考帧快速选择算法. DX,37(1):62-66.
- 赵春晖,王炜薇,崔颖.基于 FPGA 的镜像阈值层叠滤波器实现方法. DC,23(11):42-47.
- 钟升.基于 SIMD PE 阵列的 DCT 数据并行实现方法研

D: 技术应用(共 214 篇)

D1: 硬件、系统和快速算法(29 篇)

- 曹鹏,王超.高性能低存储的 2 维离散小波变换架构. ZTu,14(11):2198-2204.
- 曹伟,洪琪,侯慧,等.一种用于 H. 264 编解码的新型高效可重构多变换 VLSI 结构. DX,37(4):673-677.
- 曹玉珍,王维,张波.基于提升小波的医学数据压缩算法及其 DSP 实现. ZS,28(1):1-6.
- 陈桂财,宋元征,王新,等.一种采用 AVS 的视频监控系统设计与实现. ZTu,14(8):1553-1559.
- 陈立栋,徐玮,张茂军,等.基于四拼图的嵌入式全景视频实时生成系统. XC,25(12):1946-1950.

究. DX,37(7):1546-1553.

D2: 通信、视频传输 (24 篇)

- 蔡述庭,王钦若,谢云,等.一种基于无比率 LDPC 编码的分布式视频压缩机制. DX,37(11):2535-2540.
- 陈庆德,胡栋.基于口域线性率失真模型的 H.264 帧级码率控制算法. XC,25(2):251-255.
- 房胜,李哲,梁永全,等.分布式视频编码虚拟依赖信道模型研究. JX,32(7):1404-1412.
- 封颖,李云松,吴成柯,等.分布式视频解码器端的码率估计算法. DX,37(6):1232-1236.
- 韩镇,胡瑞敏,陈皓,等.一种基于分层率失真优化的容错性视频转码算法. JX,32(6):1152-1161.
- 贺强,杨高波,张兆扬.针对移动视频终端的基于感兴趣区域的快速转换编码. TX,30(7):36-40.
- 贺人龙,蒋刚毅,郁梅,等.一种多视点视频系统中随机访问的解码路径计算新方法. ZTu,14(4):636-641.
- 侯俊,程燕.利用视觉特征进行 Motion JPEG2000 低频子带重构. ZTu,14(11):2262-2268.
- 胡晓飞,詹学峰,朱秀昌.基于自适应变论域模糊理论的 CBR 视频码率控制策略. XC,25(7):1141-1145.
- 卢刘明,陆肖元.基于网络丢包的网路视频质量评估. ZTu,14(1):52-58.
- 卢山,孙军,王嘉.基于人眼立体视觉特性的多视视频码率控制算法. ZTu,14(11):2396-2400.
- 秦晓芳,杨大成,张欣.新的基于 SR-SW-HARQ 的低时延视频传输方案. TX,30(1):18-24.
- 沈寒,朱秀昌.基于模糊聚类的空域视频差错掩盖. XC,25(4):592-595.
- 沈秋,李厚强,王毅,等.一种基于运动信息描述的视频格式自适应方案. JX,32(6):1162-1171.
- 宋彬,蒋小兵,秦浩,等.基于 H.264 具有抗分组丢失能力的帧内刷新算法. DX,37(1):221-224.
- 唐振华,刘文予,赵爽.一种基于 MPEG-4 视频编码流的信道失真模型. ZTu,14(5):877-883.
- 汪大勇,孙世新,黄源源,等.一种适用于实时交通监控的视频编码方法. DC,23(4):.
- 王波,刘涤尘,李敏.一种基于 H.264 的混合视频转码方法. ZTu,14(12):2463-2469.
- 许冠宇,周军.同步多视角码流的视角可分级传输. ZTu,14(10):2141-2144.
- 余海瑞,倪林.基于 SP 帧技术的非平衡多描述视频编码方法. SC,24(1):87-90.
- 周军,李俊,朱明.基于 GOP 取帧与变帧率的 VCR 实现方法. DX,37(8):1675-1680.
- 周芦明,刘春生,罗亮.基于 H.264/AVC 的帧层码率控制算法. ZTu,14(9):1813-1818.

- 周芦明,刘春生,罗亮.基于模糊控制的 H.264 宏块层码率控制算法. ZTu,14(10):1955-1960.
- 卓力,刘博仑,沈兰荪.面向无线视频传感器网络的低复杂度视频编码算法. SC,24(1):119-124.

D3: 文档 (13 篇)

- 曹忠升,苏哲文,王元珍,等.基于模糊区域检测的手写汉字笔画提取方法. ZTu,14(11):2341-2348.
- 曹忠升,苏哲文,王元珍.一种脱机手写汉字书写顺序恢复模型. ZTu,14(10):2074-2081.
- 丁杰,娄震,杨静宇.基于笔划组合的手写数字切分. ZTu,14(8):1609-1614.
- 丁杰,杨静宇.一种基于模糊规则的手写体粘连数字串分割. ZTu,14(11):2292-2298.
- 姜映映,田丰,王绪刚,等.基于模板匹配和 SVM 的草图符号自适应识别方法. JX,32(2):252-260.
- 李敏花,王春恒,肖柏华,等.一种基于条件随机场的复杂背景图像文本抽取方法. MR,22(6):827-832.
- 李昕,丁晓青,彭良瑞.一种基于微结构特征的多文种文本无关笔迹鉴别方法. ZX,35(9):1199-1208.
- 宋砚,刘安安,张勇东,等.基于聚类的视频字幕提取方法. TX,30(2):136-140.
- 田破荒,彭天强,李弼程.基于文字穿越线和笔画连通性的视频文字提取方法. DX,37(1):72-78.
- 吴锐,黄剑华,唐降龙,等.基于灰度直方图和谐聚类的文本图像二值化方法. Dxx,31(10):2460-2464.
- 夏勇,戴汝为,肖柏华,等.基于 OCR 与词形状编码的英文扫描文档检索. MR,22(3):488-493.
- 于金伦,周祥东,刘成林.手写字串识别搜索算法. MR,22(2):182-187.
- 周秦武,陈俊虹,蒋鹏程,等.通用复合数据巡检网络的构建. ZTi,14(2):222-226.

D4: 生物、医学 (45 篇)

- 艾大萍,尹晓红,刘伯强,等.一种骨髓细胞识别分类算法的研究. ZS,28(4):549-553.
- 蔡哲元,余建国,汪源源,等.基于 M 带小波变换多重分形的胰腺内镜超声图像分类. ZS,28(3):356-361.
- 陈静,罗述谦.一种用于增强现实中的基础矩阵的估计方法. ZS,28(3):351-355.
- 单东日,陈向东,朱泽平,等.基于改进 MC 算法的牙颌组织 3 维重建. ZTu,14(7):1313-1318.
- 邓寅晖,汪源源,陈萍.超声图像多囊卵巢分割及其在自动检测中的应用. ZS,28(2):199-204.
- 高嵩,赵林,邱天爽,等.基于超声图像分析的肝癌射频治疗效果定量评价. ZS,28(3):332-337.
- 葛云,章东.基于 Legendre 正交矩的配准方法在放疗导

航中的应用研究. DX,37(7):1529-1531.

- 郝欣,曹颖,夏顺仁.基于医学图像内容检索的计算机辅助乳腺 X 线影像诊断技术. ZS,28(6):922-930.
- 侯建华,熊承义,何翔,等.基于小波统计模型的医学超声图像去噪方法研究. ZS,28(1):31-36.
- 胡岩,王田苗,王君臣,等.基于视频跟踪的前交叉韧带重建导航及仿真评估系统研究. ZS,28(2):231-237.
- 姜慧研,何炜.基于胸部 CT 图像的肺癌识别方法的研究. DX,37(8):1664-1668.
- 李冬梅,万春丽,李继承.小动物活体成像技术研究进展. ZS,28(6):916-921.
- 李峰,吕回.基于 BEMD 和小波阈值的 MRI 医学图像去噪. ZTu,14(10):1972-1977.
- 李璜玮,刘华锋,施鹏程.基于卡尔曼滤波理论的脑电逆问题反演. ZTu,14(5):838-842.
- 李居朋,陈后金,于江波,等.基于 $L * a * b * c$ 色彩空间的视神经边缘自动提取. ZX,35(1):103-106.
- 李居朋,陈后金,张新媛.基于交叉网络的眼底视神经乳头自动定位. DxX,31(5):1170-1174.
- 林相波,邱天爽.基于灰度和形状的非刚性图像配准算法的研究. ZS,28(4):615-619.
- 刘露,刘宛予,楚春雨,等. CT 图像中肿大淋巴结肺癌转移分类方法. DxX,31(10):2476-2482.
- 刘伟,韩真,李传富,等.高分辨率颅脑 CT 图像纹理统计图谱的创建与应用. SC,24(4):524-530.
- 刘小平,杨新,吴兰平,等.基于模板匹配的 3 维超声心动图四腔切面自动检测. ZTu,14(9):1858-1861.
- 刘炎,邱天爽,陈志彬.一种 X 光胸片心胸比率自动计算方法. ZS,28(1):149-152.
- 陆荣生,易红,倪中华,等.基于弹性小球动态平衡的血管中心线和直径的测量. ZS,28(5):668-673.
- 吕新荣,高新波,邹华.基于医学影像的血管快速提取与可视化. ZS,28(4):527-534.
- 马建华,陈武凡,黄静,等.基于最大互信息量熵差分割的 CT 金属伪影消除. DX,37(8):1779-1783.
- 马莉,郭安哲.基于局部分形维的黑色素瘤轮廓不对称性和不规则性分析. ZS,28(4):508-513.
- 潘晓苹,沈民奋,李延勋,等.基于曲波变换的分水岭算法及其应用. SC,24(5):655-659.
- 沈建新,肖剑锋,黄泽炳,等.心肌细胞钙瞬变共聚焦显微图像的处理分析. ZTi,14(1):24-27.
- 苏茂君,王兆滨,张红娟,等.基于 PCNN 自动波特征的血细胞图像分割和计数方法. ZS,28(1):145-148.
- 田云,张莉华,周明全,等.从 CT 体数据场提取人体器官的方法. ZS,28(1):37-41.
- 王海波,李雪耀,杨宇军.基于线性滤波的脑 CT 图像颅内结构的提取. ZTi,14(1):93-98.

- 王岭,陈晓冬,郁道银,等.基于 CAG 三维重建与超声图像的数据融合研究. ZS,28(6):834-839.
- 魏平,李均利,鲁东明,等.一种乳腺钼靶 X 线图像的软拷贝显示优化方法. ZS,28(5):783-787.
- 吴占雄,蒋飏,章伟敏,等.基于核磁共振扩散张量成像技术的脑组织 3D 分割算法研究. ZS,28(4):602-605.
- 谢红梅,连宇,彭进业.基于 Neut 分割和 SVM 分类器的医学图像分类算法. SC,24(6):734-737.
- 谢志明,陈冠楠,陈建新,等.皮肤增生性疤痕组织的双光子显微图像纹理分析. ZTu,14(9):1862-1866.
- 徐胜舟,宋恩民,许向阳.基于改进 Demons 算法的乳腺 X 线摄片非刚性配准. ZTu,14(12):2566-2571.
- 徐伟栋,刘伟,厉力华,等.基于特性模型与神经网络的乳腺图像肿块自动检测技术. DxX,31(7):1653-1658.
- 许家伦,屠立平,张志枫,等.一种基于 LAB 色空间拓扑剖分映射的颜色恒常性模型. DX,37(9):2109-2112.
- 闫学昆,陈英,杜杰,等. CB 法微核图像中粘连淋巴细胞的自动分离. ZTi,14(3):296-301.
- 闫学昆,陈英,杜杰,等.基于最短距离的粘连细胞分离点对的自动配对. ZTi,14(3):308-313.
- 杨加臣,焦纯,许健,等.基于 MAP2EM 分割的冠脉斑块定量检测. ZTi,14(2):138-142.
- 杨立才,刘延梅,刘欣,等.基于小波包变换的医学图像融合方法. ZS,28(1):12-16.
- 张少敏,支力佳,赵大哲,等.基于区域联合 Rényi 熵的多模医学图像配准. DX,37(10):2320-2325.
- 钟元,王惠南,郑罡,等.基于 fMRI 瞬时功率的独立成分分析. ZTu,14(10):2010-2015.
- 朱皓,杨春兰,白燕萍,等.微波消融组织 B 超图像纹理特征参数与温度的相关性. ZS,28(6):818-822.

D5:遥感、雷达、测绘(84 篇)

- 艾加秋,齐向阳,禹卫东.改进的 SAR 图像双参数 CFAR 舰船检测算法. DxX,31(12):2881-2885.
- 安成锦,杜琳琳,王卫华,等.基于融合边缘检测的 SAR 图像线性特征提取算法. DxX,31(6):1279-1282.
- 蔡国林,李永树,刘国祥.小波-维纳组合滤波算法及其在 InSAR 干涉图去噪中的应用. YX,13(1):129-143.
- 曹恒智,余先川,张立保.基于 SL-ICA 算法的 SAR 图像混合像元分解. YX,13(2):217-223.
- 曹兰英,周晔,苏晓阳.一种用于 SAR 图像统计模型参数估计的蚁群算法. SC,24(1):78-81.
- 常威威,郭雷,刘坤,等.基于 Contourlet 变换和主成分分析的高光谱数据噪声消除方法. DxX,31(12):2892-2896.
- 常玉林,黄晓涛,周红,等.可适应阵列误差和非均匀杂波环境的多通道 SAR 图像域 STAP 方法. YX,13(2):238-245.

- 陈捷,陈标,许素芹.一种新的 SAR 图像内波检测与参数估计方法. ZTu,14(1):40-44.
- 陈生,王宏,沈占锋,等.面向对象的高分辨率遥感影像桥梁提取研究. ZTu,14(4):585-590.
- 陈旭,林宏,强振平.基于自分类和颜色空间变换的遥感图像色彩校正方法. YX,13(5):821-826.
- 承德保,胡风明,杨汝良.利用改进分形特征对 SAR 图像目标检测方法的研究. DxX,31(1):164-168.
- 单娜,郑天垚,王贞松.快速高准确度云检测算法及其应用. YX,13(6):1147-1155.
- 杜博,张良培,李平湘,等.基于最小噪声分离的约束能量最小化亚像元目标探测方法. ZTu,14(9):1850-1857.
- 杜博,钟燕飞,张良培,等.一种自适应匹配子空间亚像元目标探测方法. YX,13(4):597-603.
- 费文龙,吕红,韦志辉. Mumford-Shah 模型在卫星云图分割中的应用. ZTu,14(4):598-603.
- 冯静,舒宁.基于新颖子波变换的高光谱遥感图像特征提取. ZTu,14(10):2042-2046.
- 付迎春,袁修孝,宋妍,等.基于 MODIS 影像的森林火灾火线检测方法. YX,13(3):542-548.
- 顾小萍,方亮,唐劲松.改进的局部自适应滤波散斑抑制算法. SC,24(1):125-128.
- 韩敏,范剑超.单点逼近型加权模糊 C 均值算法的遥感图像聚类应用. ZTu,14(11):2333-2340.
- 贺霖,潘泉,邸鞅,等.高光谱图像高维多尺度自回归有监督检测. ZX,35(5):509-518.
- 贺霖,潘泉,邸鞅,等.高光谱图像目标检测研究进展. DX,37(9):2016-2024.
- 胡风明,范学花,杨汝良,等.利用方向性粗糙度特征对 SAR 图像目标检测的研究. CX,38(3):229-235.
- 胡俊华,徐守时,陈海林,等.基于局部自相似性的遥感图像港口舰船检测. ZTu,14(4):591-597.
- 胡利平,刘宏伟,吴顺君.基于改进的子类判决分析的 SAR 目标特征提取与识别. DxX,31(9):2264-2268.
- 宦若虹,杨汝良.模糊 AdaBoost 算法在 SAR 图像目标识别中的应用. SC,24(1):28-31.
- 宦若虹,杨汝良.一种基于特征分类辨识的 SAR 图像目标检测方法. CX,38(4):324-329.
- 黄石生,王正明,王卫威.基于正则模型的 SAR 图像自适应目标特征增强方法. SC,24(3):304-308.
- 江胜利,王鞠庭,邓海,等.基于图像特征的机载正交雷达网空时处理算法. DxX,31(5):1103-1107.
- 金森,赵永辉,吴健生,等.梯度幅度法提取探地雷达图像 ROI. ZTu,14(4):579-584.
- 瞿继双,瞿松柏,王自杰.基于特征的模糊神经网络遥感图像目标分类识别. YX,13(1):67-74.
- 雷琳,王壮,粟毅.基于多尺度 Gabor 滤波器组的不变特征点提取新方法. DX,37(10):2314-2319.
- 雷小奇,王卫星,赖均.一种基于形状特征进行高分辨率遥感影像道路提取方法. CX,38(5):457-465.
- 李晨,朱岱寅.基于信噪比门限判断和小波变换的 SAR 干涉图滤波法. DxX,31(2):497-500.
- 李慧,王云鹏,李岩,等.基于 SVM 和 PWC 的遥感影像混合像元分解. CX,38(4):318-323.
- 李玲,王贞松.基于 FFT 的星载 SAR 复数图像压缩及其码率控制算法. YX,13(6):1020-1029.
- 李小英,顾行发,余涛,等. CBERS-02B 卫星 WFI 成像在轨 MTF 估算与图像 MTF 补偿. YX,13(3):377-384.
- 李禹,计科峰,吴永辉,等.多特征联合的序贯鉴别方法去除 SAR ATR 中虚假 ROIs. XC,25(2):163-168.
- 李禹,计科峰,吴永辉,等.一种 SAR 图像车辆目标鉴别特征及其提取方法. YX,13(2):232-237.
- 刘碧丹,王岩飞,韩松.距离徙动校正和斜地变换的实时算法研究. DxX,31(5):1099-1102.
- 刘书君,袁运能,毛士艺.基于单通道 SAR 图像序列特征值分解的动目标检测方法. DxX,31(8):1876-1880.
- 刘亚岚,任玉环,魏成阶,等.北京 1 号小卫星监测非正规垃圾场的应用研究. YX,13(2):320-326.
- 刘艳芳,兰泽英,刘洋,等.基于混合熵模型的遥感分类不确定性的多尺度评价方法研究. CX,38(1):82-87.
- 栾瑞雪,许小剑.周期性凹口数据的雷达图像恢复. XC,25(3):493-497.
- 罗文斐,罗寿枚,张兵,等.遥感图像端元光谱变异性的模糊描述. ZTu,14(4):567-571.
- 马腾波,王思远.基于边缘分析的海面溢油检测. YX,13(6):1087-1091.
- 毛志杰,廖桂生.基于稳健波束形成的 InSAR 干涉相位估计方法. DxX,31(7):1690-1695.
- 时公涛,高贵,匡纲要,等.基于干涉图幅度和相位联合的双通道 SAR 地面慢动目标检测方法. XC,25(6):888-894.
- 时公涛,蒋咏梅,高贵,等.基于干涉图的 D-SAR 地面慢动目标检测算法. ZTu,14(12):2425-2437.
- 宋妍,袁修孝,付迎春.基于混合高斯密度模型和空间上下文信息的遥感影像变化检测方法及其扩展. YX,13(1):117-128.
- 孙倩,朱建军,李志伟,等.基于信噪比的 InSAR 干涉图自适应滤波. CX,38(5):437-442.
- 孙显,王宏琦,张正.基于对象的 Boosting 方法自动提取高分辨率遥感图像中建筑物目标. DxX,31(1):177-181.
- 索志勇,李真芳,吴建新,等.干涉 SAR 阴影提取及相位补偿方法. SC,24(3):264-269.
- 陶勇,胡卫东.基于 lk 范数的 SAR 复图像域正则化方法分析及改进. DxX,31(11):2569-2574.

- 陶勇,胡卫东. 基于图像域的属性散射中心分析. XC, 25(10):1510-1514.
 - 田养军,薛春纪,马智民,等. 曲波变换的高光谱遥感图像融合方法在土地利用调查中的应用. YX,13(2):313-319.
 - 汪爱华,迟耀斌,王智勇,等. 北京 1 号小卫星多光谱影像全国镶嵌技术与制图研究. YX,13(1):83-90.
 - 王福友,何宜军,卢志忠,等. 基于 X 波段雷达图像序列反演海洋表面流的算法研究. CX,38(5):443-449.
 - 王桂婷,王幼亮,焦李成. 自适应空间邻域分析和瑞利-高斯分布的多时相遥感影像变化检测. YX,13(4):639-646.
 - 王敏,董臻,梁甸农. 正交双航过全极化 SAR 图像测高研究. XC,25(1):48-51.
 - 王耀南,彭曙蓉,邓积微,等. 一种基于条纹中心线的 InSAR 干涉图滤波方法. CX,38(3):210-215.
 - 王贞俭,曲长文. 方向小波域的选择性阈值 SAR 图像去噪. ZTu,14(1):65-70.
 - 魏志强,金亚秋. 密集残差点区域的解缠算法. YX,13(1):54-59.
 - 温晓阳,张红,王超. 地震损毁建筑物的高分辨率 SAR 图像模拟与分析. YX,13(1):169-176.
 - 吴柯,李平湘,张良培. 一种基于进化 Agent 的遥感影像亚像元定位方法. YX,13(1):60-66.
 - 吴婉澜,皮亦鸣,何强巧. AdaBoost 算法实现全极化 SAR 图像分类. XC,25(10):1594-1597.
 - 夏豪,张荣. 基于改进预测树的超光谱遥感图像无损压缩方法. DxX,31(4):813-817.
 - 谢耀华,汤晓安,孙茂印,等. 基于空间上下文信息的部分 K 均值算法. XC,25(11):1732-1737.
 - 邢坤,付宜利. 基于内港区域的港口目标识别. DxX,31(6):1275-1278.
 - 徐牧,王雪松,肖顺平. 基于散射机理分类与频谱相关性分析的极化 SAR 人造目标鉴别. XC,25(3):412-417.
 - 徐牧,肖顺平,王雪松. 一种基于样本筛选的极化 SAR 图像目标对比增强新方法. ZTu,14(11):2230-2236.
 - 杨进,闫冬梅,王超,等. 高分辨率 SAR 图像目标属性散射中心特征提取方法. ZTu,14(1):35-39.
 - 杨胜,李敏,彭振国,等. 一种新的多波段遥感影像变化检测方法. ZTu,14(4):572-578.
 - 杨晓慧,焦李成,李登峰. 基于复 Bandelelets 的自适应 SAR 图像相干斑抑制. DX,37(9):1880-1884.
 - 杨延光,宋千,金添,等. 一种适用于 FLGPSAR 的自适应干扰抑制与背景均衡新方法. DxX,31(7):1684-1689.
 - 杨延光,周智敏,宋千,等. 一种 VFGPIR 序列图像特征评估与选择新方法. XC,25(10):1574-1581.
 - 尹宏杰,李志伟,丁晓利,等. InSAR 干涉图最优化方向融合滤波. YX,13(6):1099-1105.
 - 袁修孝,曹金山,姚娜. 顾及扫描侧视角变化的高分辨率卫星遥感影像严格几何模型. CX,38(2):120-124.
 - 张亮,李禹,计科峰,等. SAR 图像局部自适应 ACCA-CFAR 检测算法. DxX,31(1):160-163.
 - 张齐勇,岑敏仪,周国清,等. 城区 LiDAR 点云数据的树木提取. CX,38(4):330-335.
 - 张瑛,何彬彬,李小文. 基于 MTF 滤波的北京一号小卫星遥感影像融合. CX,38(3):223-228.
 - 张振,朱宝山,朱述龙,等. 小波变换改进的 MASK 匀光算法. YX,13(6):1078-1081.
 - 张周威,汪承义,陈静波,等. 基于 LiDAR 数据的平均树高反演关键技术研究. ZTi,14(2):209-215.
 - 赵凌君,秦玉亮,高贵,等. 利用 GLCM 纹理分析的高分辨率 SAR 图像建筑区检测. YX,13(3):483-390.
 - 郑宏,胡学敏. 高分辨率卫星影像车辆检测的抗体网络. YX,13(5):920-927.
- D6:其他(19篇)**
- 蔡蕾,朱永生. 基于稀疏性非负矩阵分解和支持向量机的时频图像识别. ZX,35(10):1272-1277.
 - 陈久军,肖刚,应晓芳,等. 鱼体尾频运动模型研究. ZTu,14(10):2177-2180.
 - 陈晓峰,王士同,曹苏群,等. 基于模糊聚类的稳健支撑向量回归及火焰图像处理. ZTu,14(3):463-470.
 - 戴斌,张伟斌,田勇,等. 含能材料损伤裂纹的工业 CT 图像分析. CT,18(4):68-74.
 - 董子龙,章国锋,邵元龙,等. 基于汉字标志的增强现实系统. ZTu,14(7):1463-1468.
 - 高建,吕静. 应用 CT 成像技术研究岩心孔隙度分布特征. CT,18(2):50-57.
 - 郑东耀,刘泽. 透射光谱成像技术及其在相似异物检测中的应用. DC,23(2):69-74.
 - 李滚,严发宝,苏艳蕊,等. 基于 CANNY 算子的自适应双阈值油罐油位红外成像检测. DC,23(9):44-50.
 - 刘志杰,田艳娜,杨亮亮,等. 重叠条件下茶叶嫩芽的自动检测方法. ZTi,14(2):129-132.
 - 秦晓燕,王海涛,孔维维,等. 基于 ICT 的榴-5 引信自动检测算法研究. CT,18(2):9-14.
 - 宋乐,林玉池,何冬,等. 空心圆柱端面缺陷的快速视觉检测. ZTu,14(10):2137-2140.
 - 王富治,黄大贵. 基于峰谷形态的纸张纹路分割算法. DC,23(6):103-107.
 - 王明顺,王俊生. 基于 DSP 的纸币光变油墨自动识别的研究. ZTu,14(5):950-956.
 - 吴小平,高平山. 菲涅耳全息图的 CCD 记录及重现. ZTu,14(4):647-651.

- 徐小良,洪波.一种基于整数坐标的亚像素精度区域采样反走样算法. ZTu,14(12):2438-2442.
- 杨延光,宋千,周智敏,等.车载前视 GPSAR 序列图像浅埋目标检测新方法. DxX,31(6):1292-1297.
- 杨延光,周智敏,宋千,等.一种适用于 VFGPIR 序列图像的距离多视新方法. ZTu,14(11):2247-2254.
- 张福元,张杰,王岩峰,等.基于小波分析的微尺度波斜率波数谱计算. DX,37(7):1532-1535.
- 郑德忠,周颖慧.单 CCD 数字滤光温度场测量. DX,37(12):2774-2777.
- 32(8):1451-1469.
- 李树涛,魏丹.压缩传感综述. ZX,35(11):1369-1377.
- 李映,张艳宁,许星.基于信号稀疏表示的形态成分分析:进展和展望. DX,37(1):146-152.
- 史元春,徐光祐.中国多媒体技术研究:2008. ZTu,14(7):1256-1272.
- 宋晓阳,宋克欧,陈亚珠.图像轮廓波变换及变换域隐马尔可夫模型的应用. ZTu,14(9):1721-1731.
- 陶霖密,王奇凡,邸慧军.视觉信息处理中的马尔可夫随机场. ZTu,14(9):1705-1711.
- 王相海,陈明莹,方玲玲.概率图模型及其图像与视频应用研究. ZTu,14(9):1712-1720.
- 章毓晋.中国图像工程:2008. ZTu,14(5):809-837.

E:综述评论(共 8 篇)

E1:综述(8 篇)

- 胡事民,杨永亮,来煜坤.数字几何处理研究进展. JX,